Chimie minérale (L2 - 51DE03CH)

- Rémi Losno
- remi.losno@univ-paris-diderot.fr



- Interaction atmosphère-océan, atmosphèrecontinent
- Impact climatique du cycle des métaux





Plan du cours

• Atome et élément (rappels et compléments)

- Atome: Nucléosynthèse, Aufbau, Slater,
- Tableau périodique, Électronégativité,
- Alcalins, alcalino-terreux, halogènes

Solide ionique

- Liaison ionique
- Liaison covalente, métaux

Oxydes et métallurgie

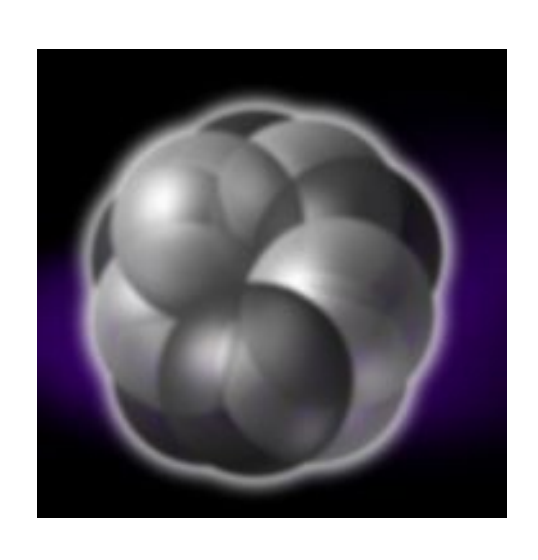
- Solide métallique, oxyde, échange d'oxygène
- Diagramme d'Elingham
- Introduction à la métallurgie

Organisation

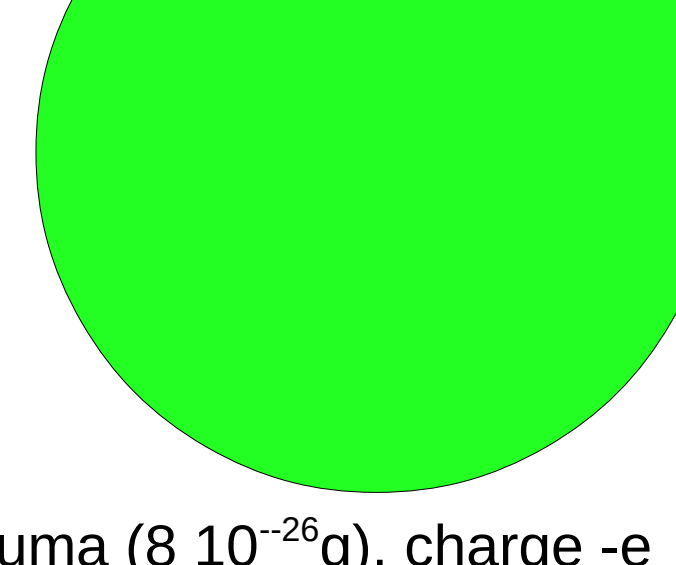
- Pédagogie
 - 12 h de cours (6 séances, 16h-18h mardi 6C)
 - 12 h de TD (6 séances, 3 groupes)
 - 8 h de TP (2 séances, 4-6 groupes, jeudi matin)
- Modalité de contrôle des connaissances
 - Examen à la fin du semestre 75%
 - Note de TP 25%

Les atomes

Noyau, isotope, élément



Noyau atomique 10⁻¹⁴ à 10⁻¹⁵ m Contient 99.9% de la masse de l'atome Assemblage de protons (+e) et de neutrons (Chadwick, 1932)

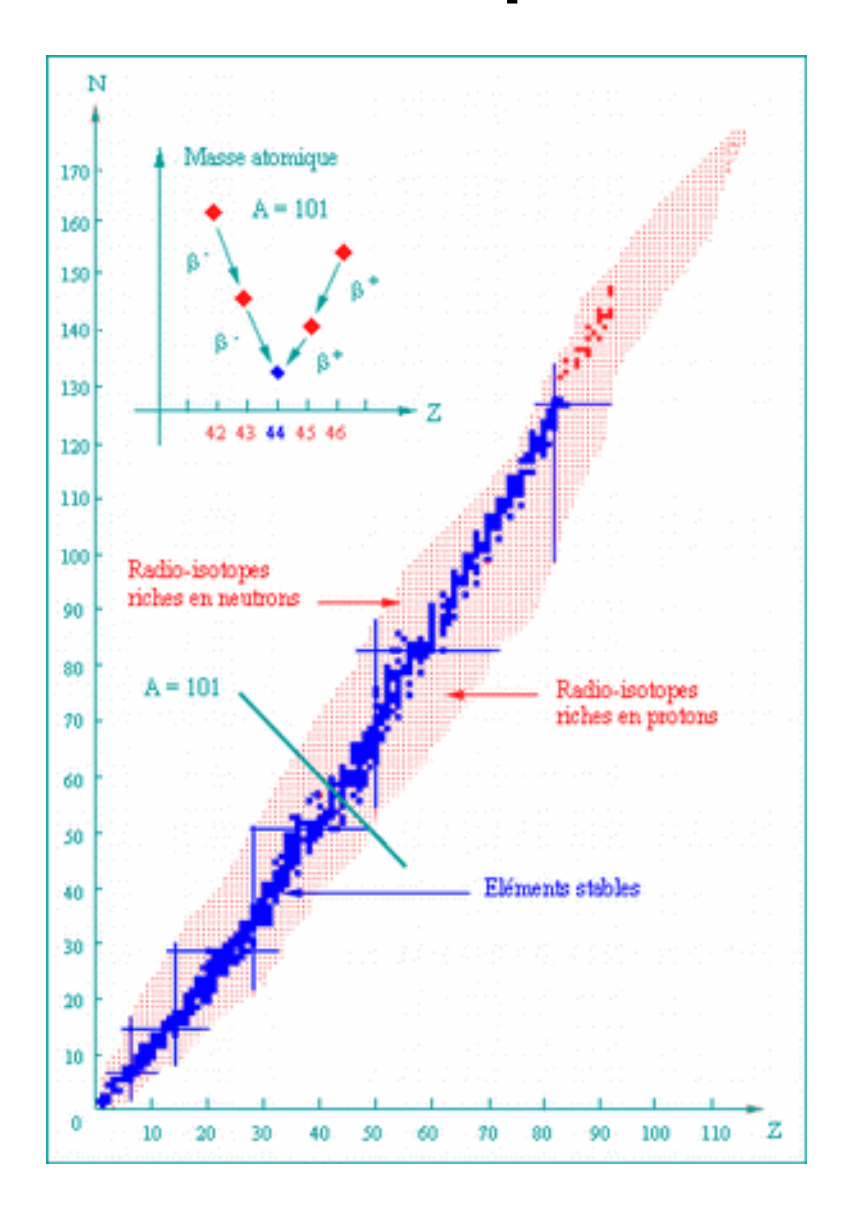


Electron, 0.05 uma (8 10⁻⁻²⁶g), charge -e (1,6 10⁻¹⁹ C), 10⁻¹⁰ m

Z: nombre de protons dans le noyau et nombre d'électrons dans l'atome caractérise l'élément

A-Z: nombre de neutrons dans le noyau Même Z, A différent: même élément mais isotopes

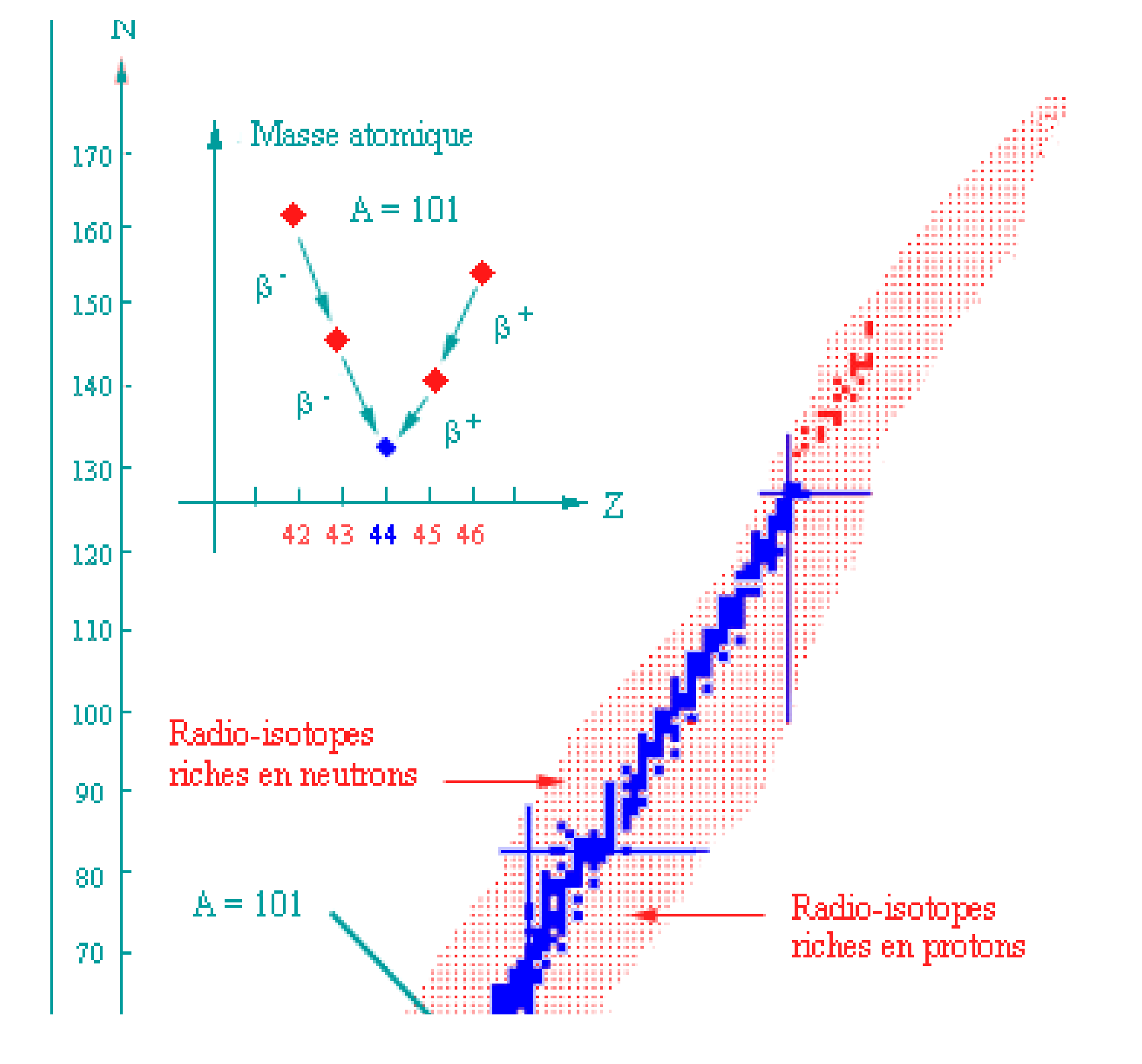
Isotopes stable et instables



La composition du noyau en proton et neutron ne peut pas être quelconque. La proportion de neutrons dans le noyau augmente avec Z. Elle est à peu près de 50% pour les noyaux dits "légers"; elle monte à 70% pour l'uranium.

Zones de stabilité nucléaires:

- les noyaux stables sont en bleu.
 Les noyaux représentés en rouge évoluent spontanément vers la stabilité en bleu: c'est la radioactivité nucléaire. Perte de e (rayonnement β), de e (rayonnement β) d'une particule α pour les gros noyaux. Cette perte s'accompagne de l'émission d'autres particules dont souvent un photon γ



Masse isotopique

1 atome de 12 C a pour masse 12 uma. 1 uma c'est 1.660565510 $^{-27}$ kg

La masse d'un atome est toujours inférieure à la somme des masses de ses constituants "libres". La différence est entre 0.1 et 1%.

Masse de ²H (²D): **2.01410 uma**

²H c'est 1 proton, un neutron et un électron Masse proton: 1.00727644 uma Masse neutron: 1.00866500 uma Masse électron: 0.00054858 uma

La somme fait: 2.01649 uma

Masse isotopique

1 atome de ¹²C a pour masse 12 uma. 1 uma c'est 1.660565510⁻²⁷ kg

La masse d'un atome est toujours inférieure à la somme des masses de ses constituants "libres". La différence est entre 0.1 et 1%.

Masse de ²H (²D): 2.01410 uma

²H c'est 1 proton, un neutron et un électron Masse proton: 1.00727644 uma Masse neutron: 1.00866500 uma Masse électron: 0.00054858 uma

La somme fait: 2.01649 uma

La variation de masse est de -0.12%

Une bonne approximation (à 1%) de la masse d'un isotope exprimé en uma (ou en g/mol) est son nombre de masse A.

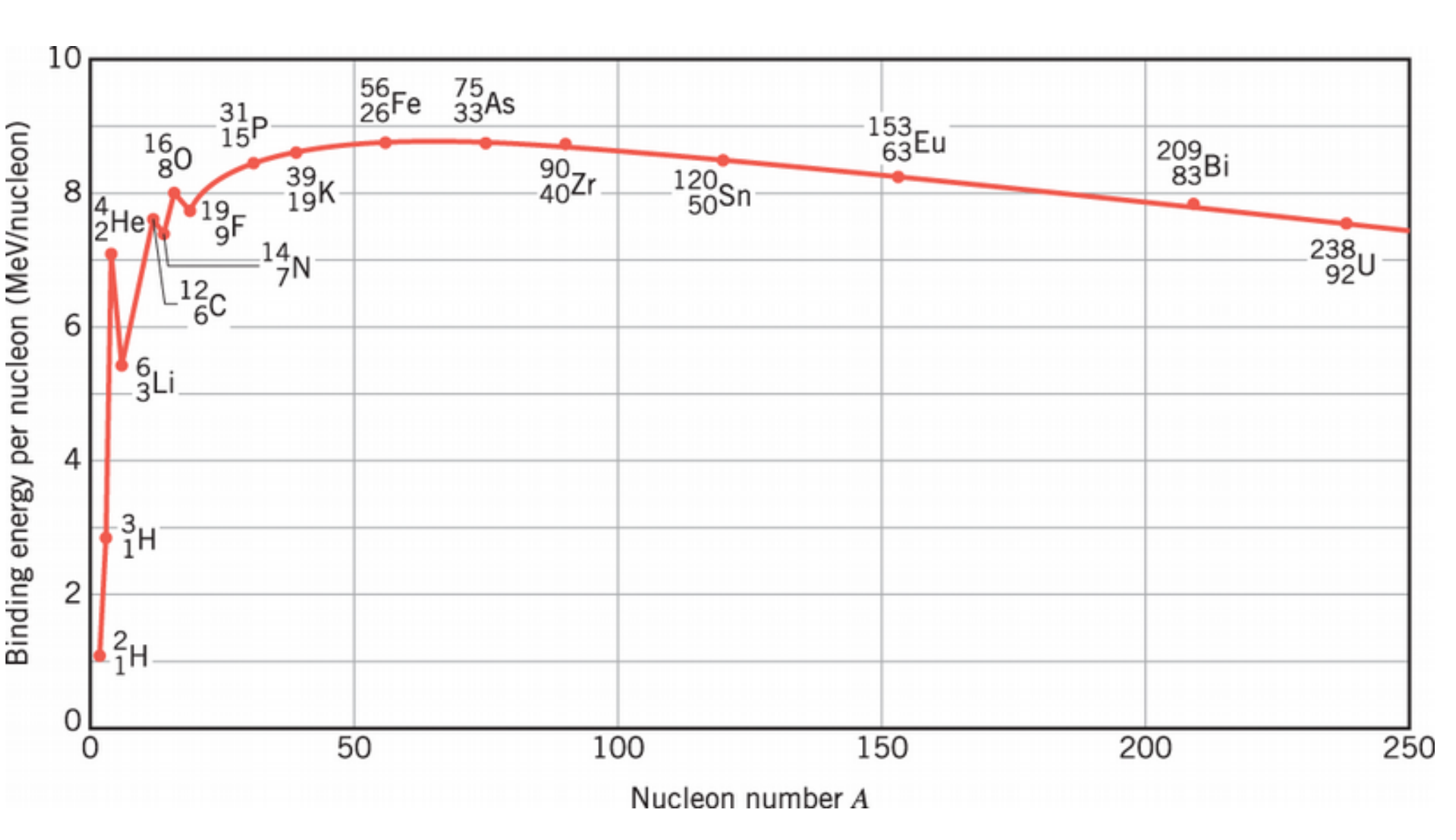
Énergie de cohésion du noyau

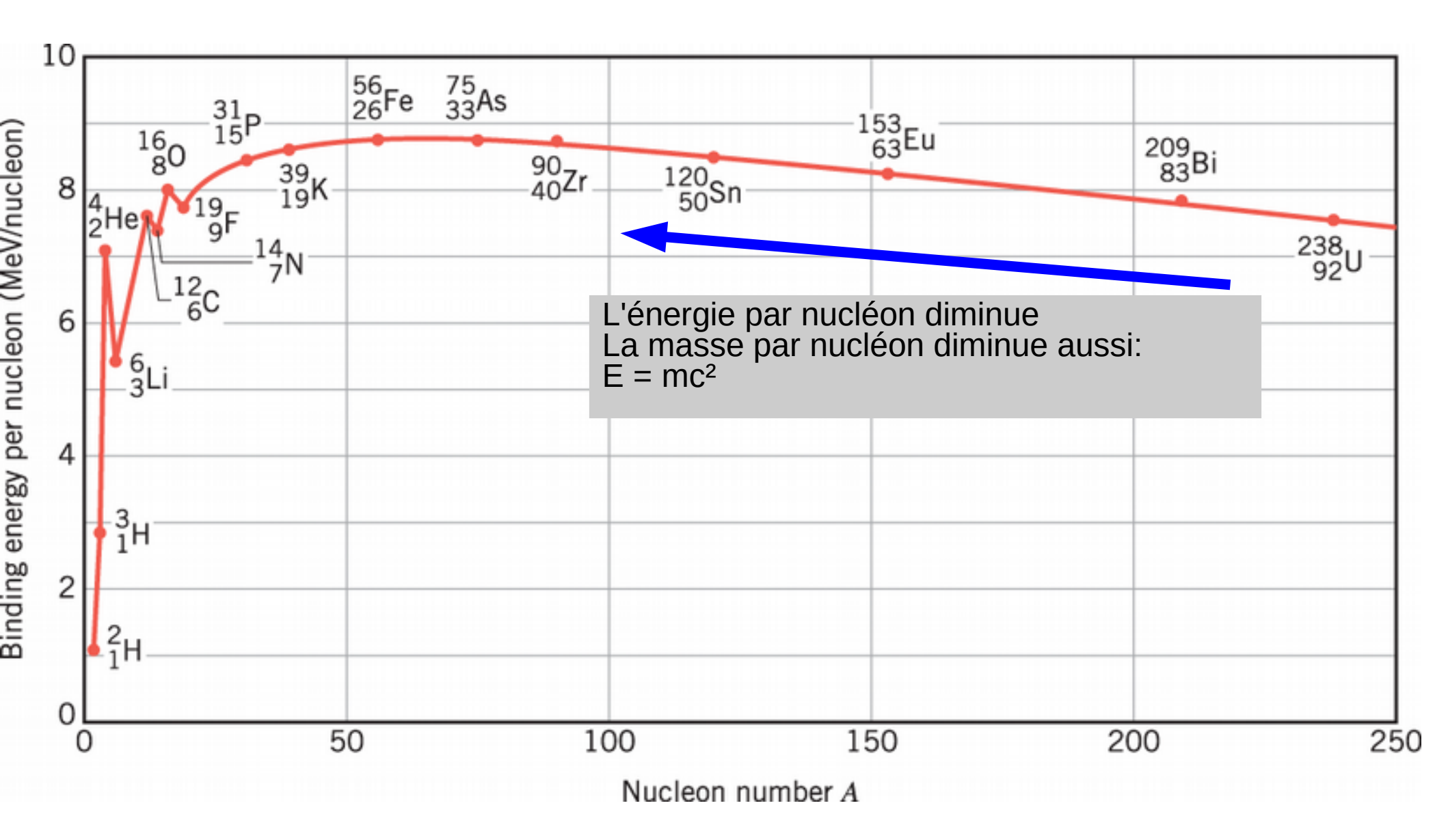
 Le défaut de masse peut se convertir en énergie :

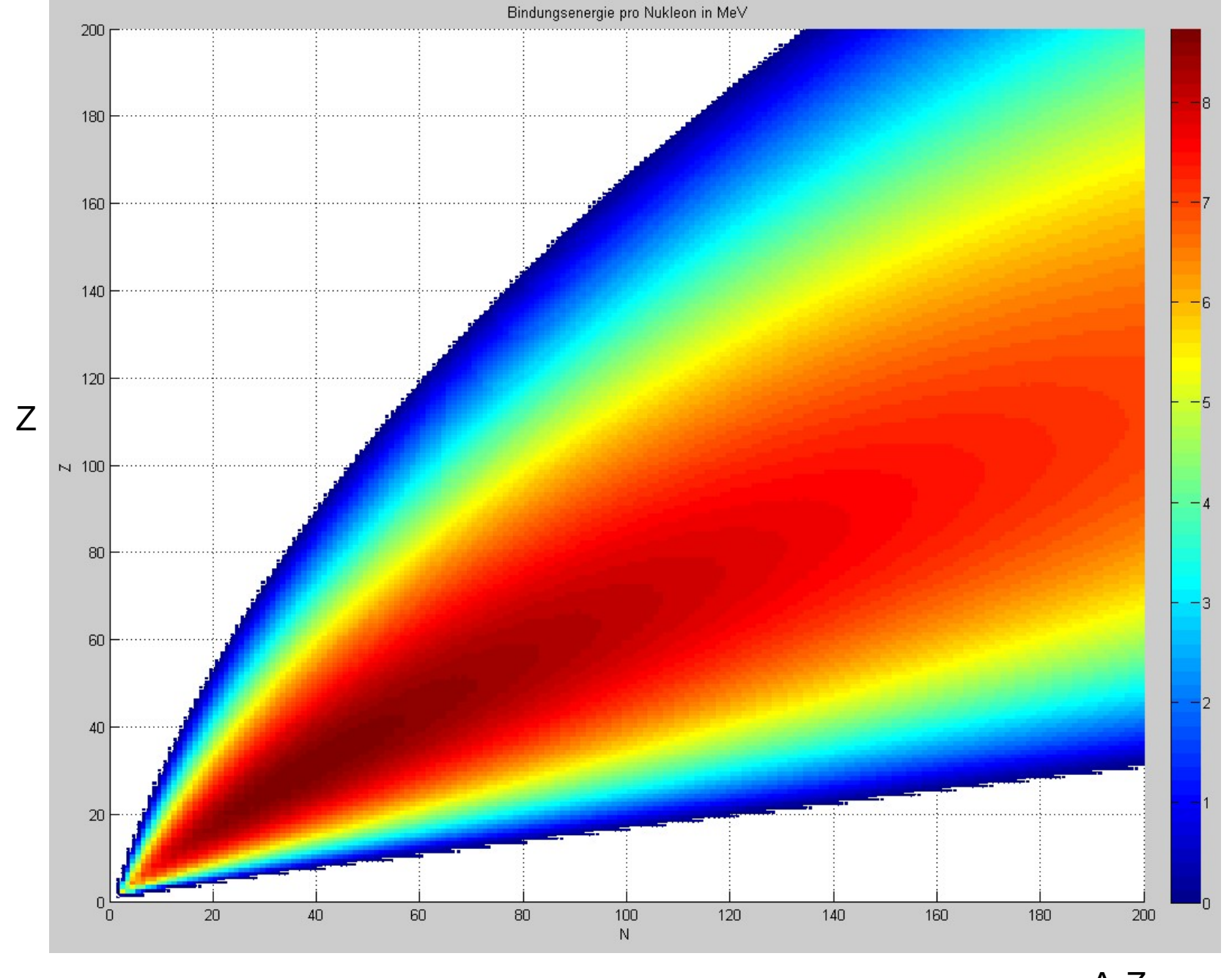
$$\Delta E = \Delta m c^2$$

 Pour comparer les atomes les uns aux autres, on définit le défaut de masse (ou l'énergie de cohésion) par nucléon

ΔΕ / Α







A graphical representation of the semi-empirical binding energy formula. The binding energy per nucleon in MeV (highest numbers in dark red, in excess of 8.5 MeV per nucleon) is plotted for various nuclides as a function of Z, the atomic number (yaxis), vs. N, the number of neutrons (x-axis). The highest numbers are seen for Z = 26 (iron).

A-Z

"Betheweizsaecker" by Aluminium - Own work. Licensed under Public Domain via Commons - https://commons.wikimedia.org/wiki/File:Betheweizsaecker.jpg#/media/File:Betheweizsaecker.jpg

Masse molaire isotopique et élémentaire

L'abondance isotopique naturelle pour un élément est sa composition isotopique relative observée sur Terre. Ce dernier point a fait l'objet de discussions très récentes:

http://www.iupac.org/web/ins/214-1-85

Voir aussi le document pdf qui liste les masses et abondances isotopiques

106Cd	105.906458	1.25%
107Cd		
108Cd	107.904183	0.89%
109Cd		
110Cd	109.903006	12.49%
111Cd	110.904182	12.80%
112Cd	111.902757	24.13%
113Cd	112.904401	12.22%
114Cd	113.903358	28.73%
115Cd		
116Cd	115.904755	7.49%

La masse molaire d'un atome est la masse d'une mole de cet atome.

La masse molaire d'un élément est la masse d'une mole d'atomes de cet élément (même Z) dans les proportions isotopiques naturelles. Pour Cd, on trouve 112.41 g/mol.

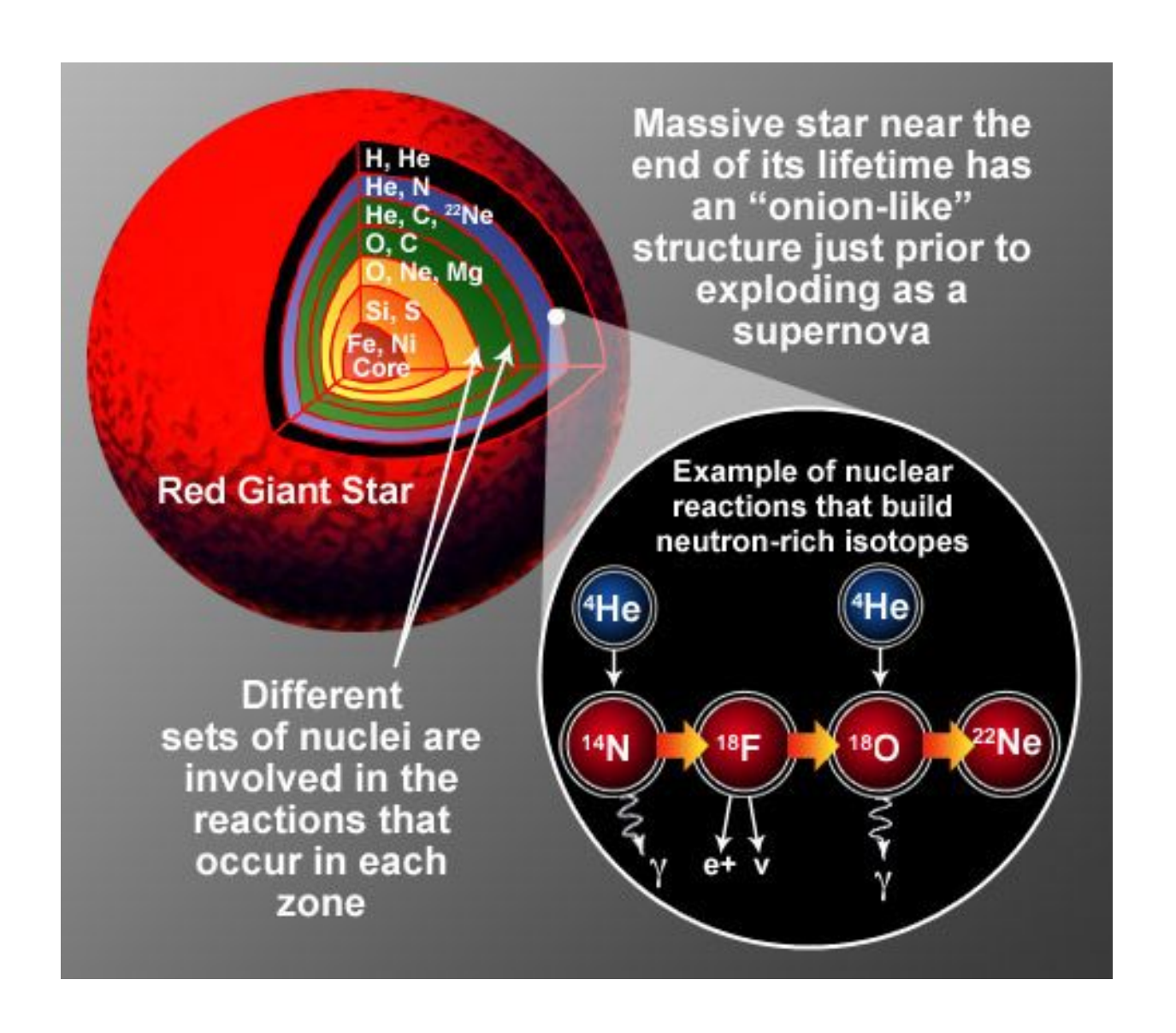
Calcul de la masse élémentaire

$$M_{Cd} = M^{106}Cd * \%^{106}Cd + M^{108}Cd$$

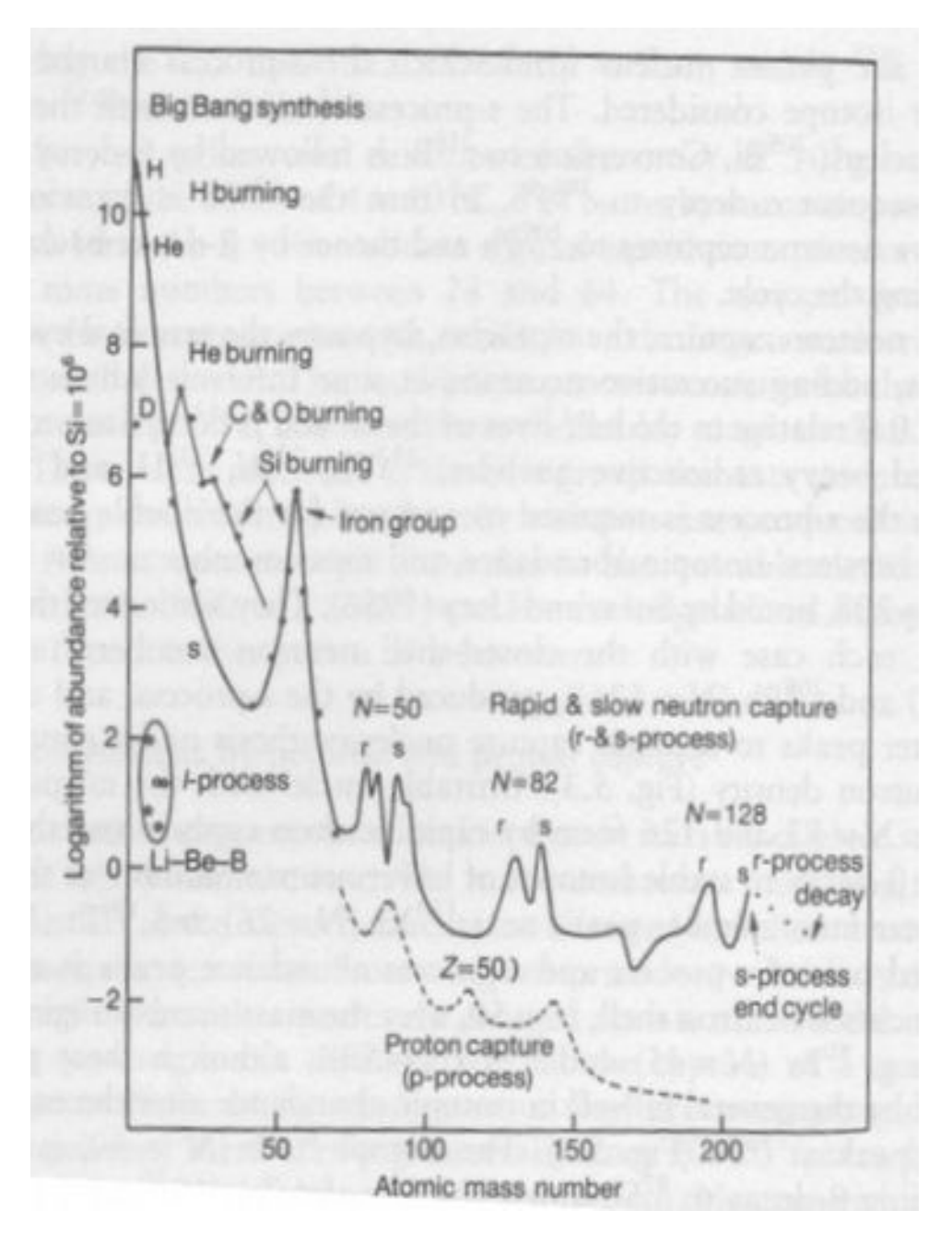
* $\%^{108}Cd + M^{110}Cd * \%^{110}Cd + ...$

Table d'abondance naturelle

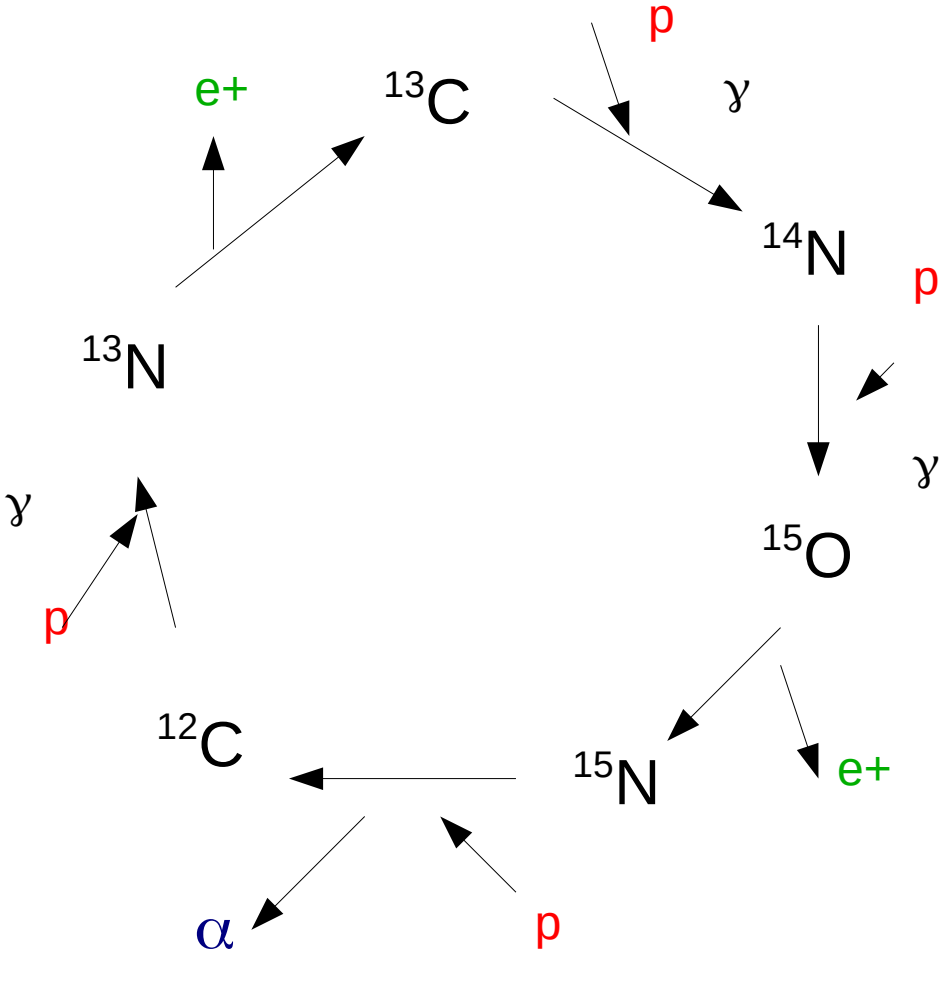
Nucléosynthèse stellaire



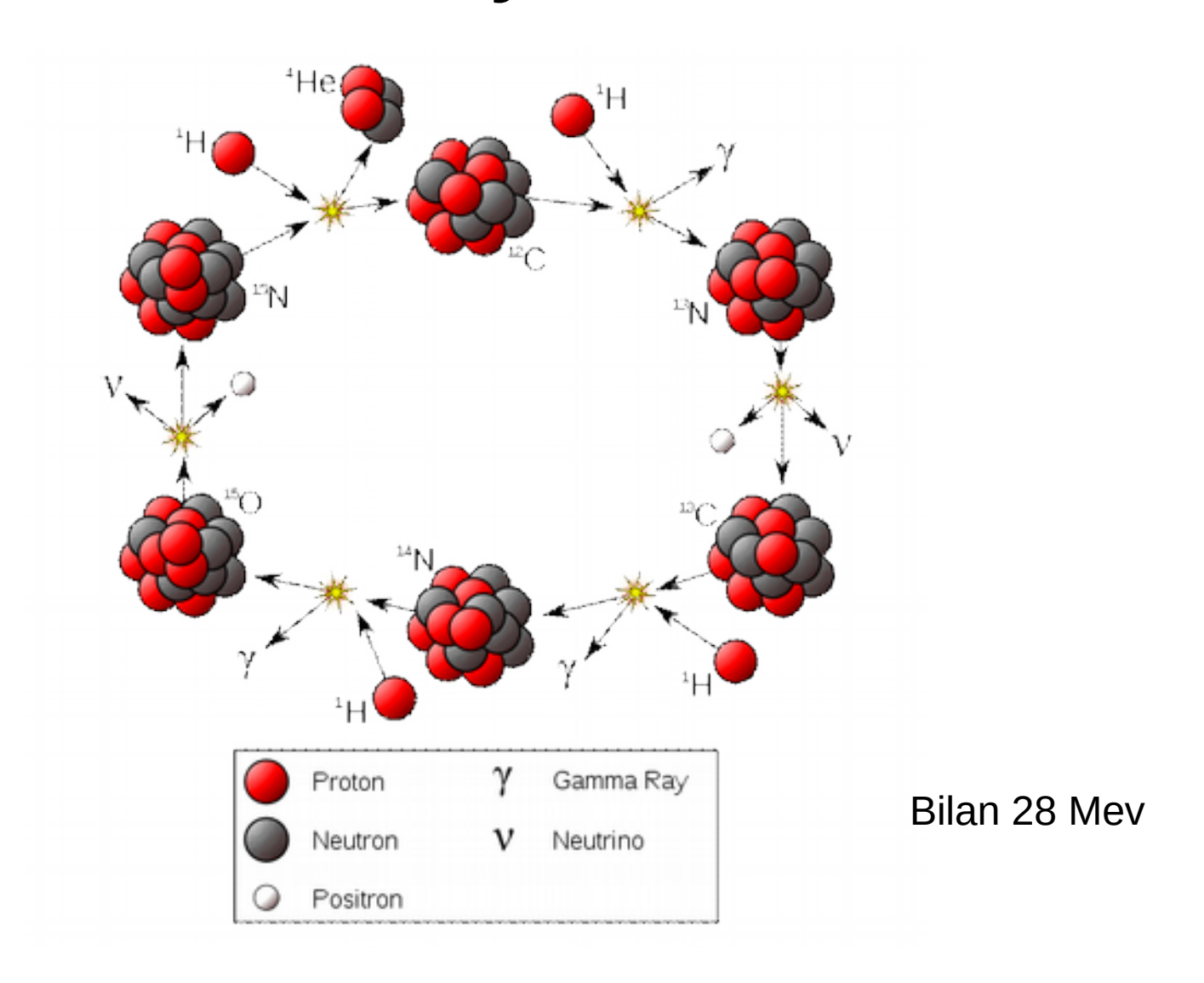
Cycle CNO



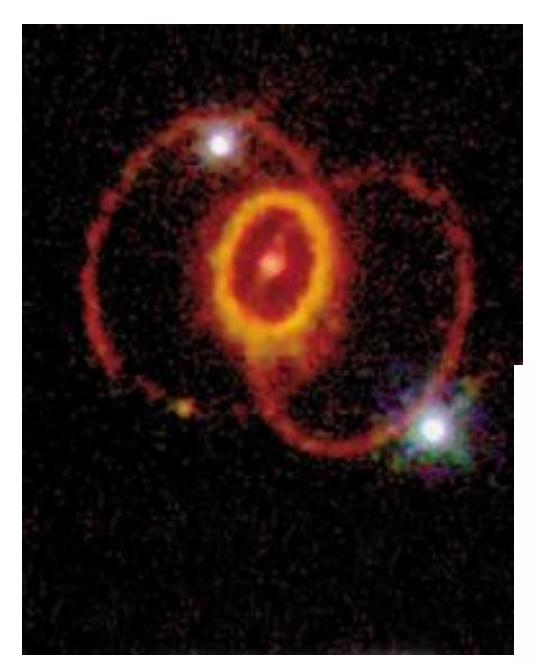
Cycle CNO 26.73 MeV

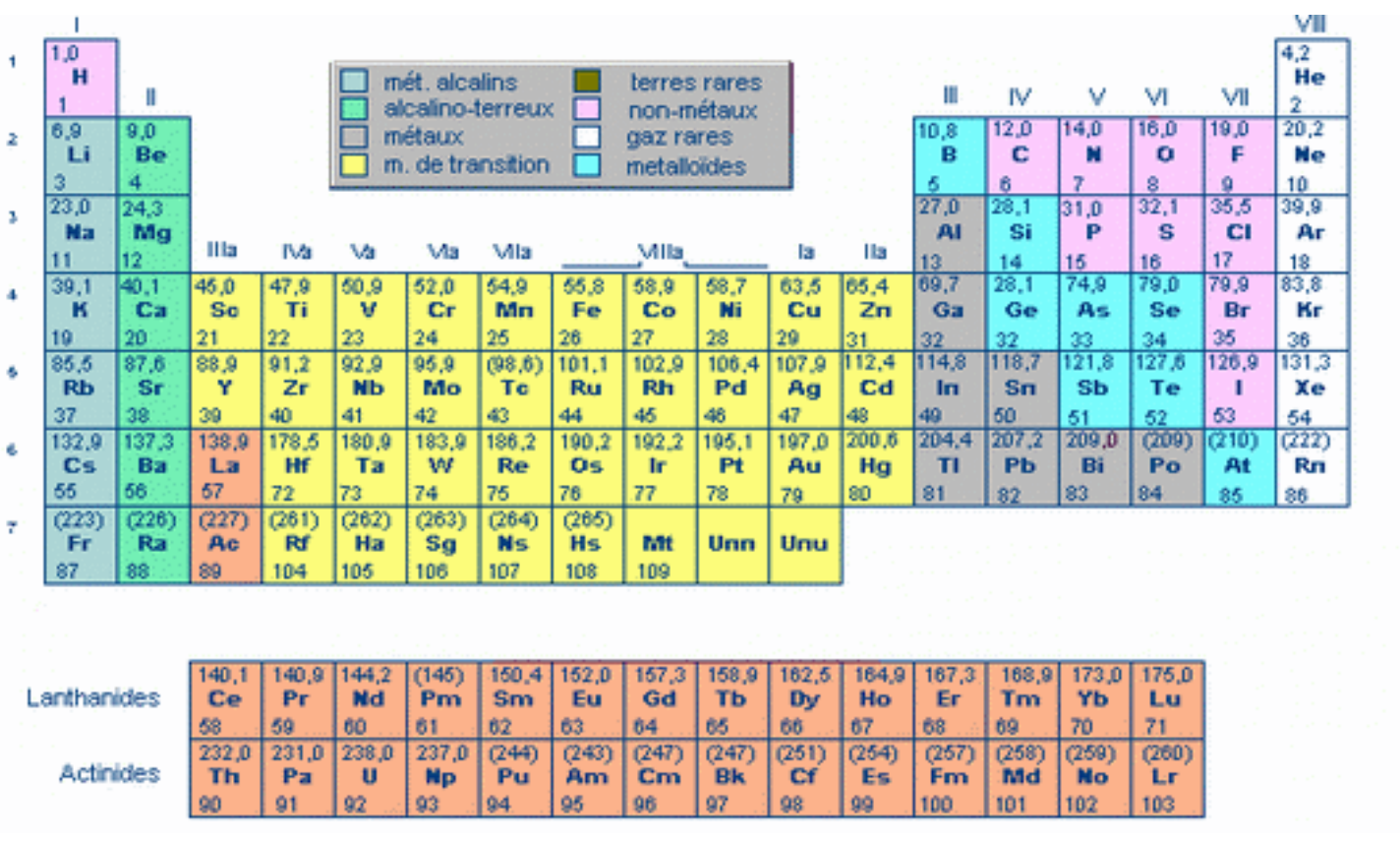


Cycle CNO

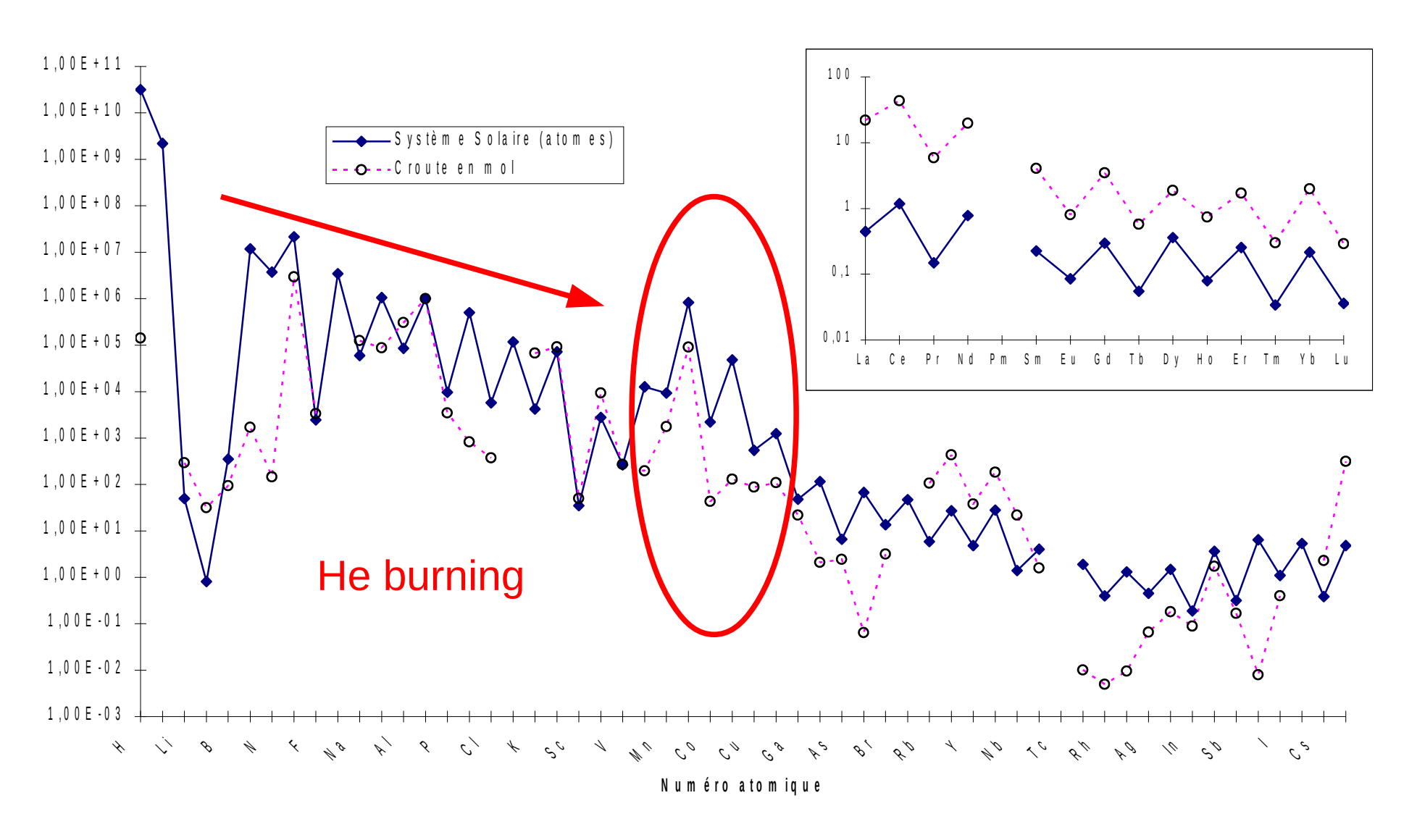


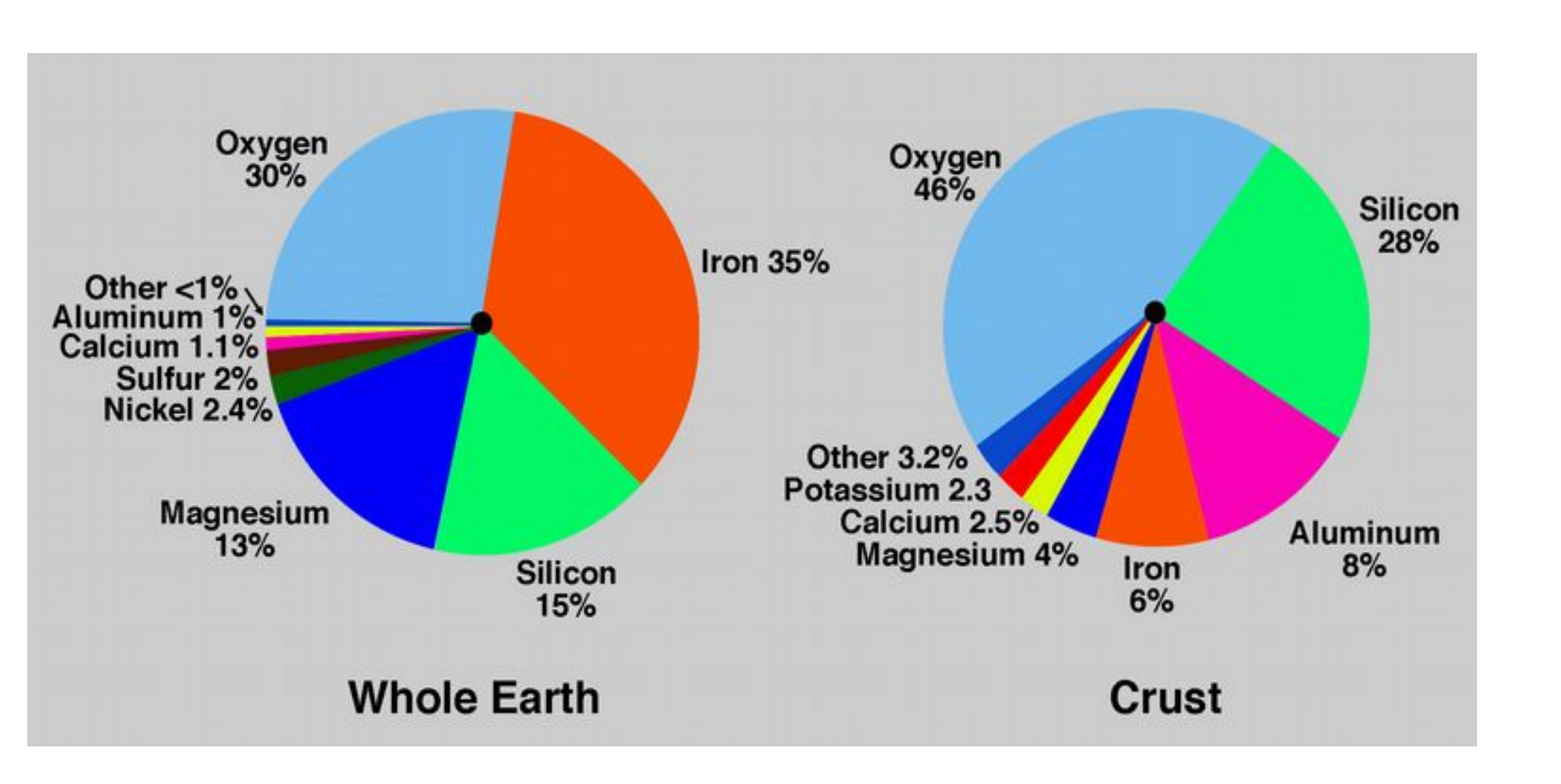


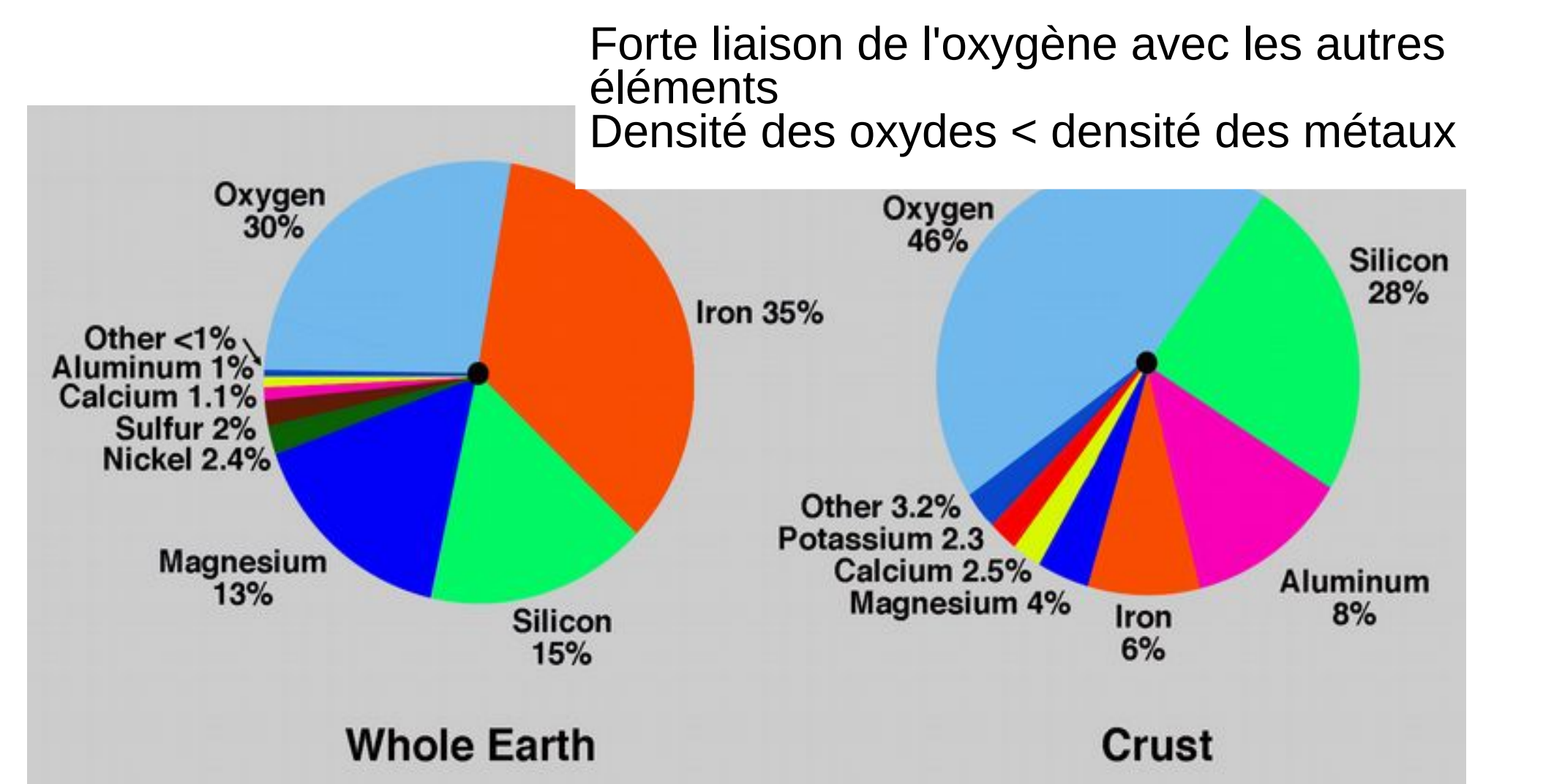




Abondances







L'atome d'hydrogène Z=1

$$\Psi_{n,l,m}(r,\theta,\phi,t) = R_{n,l}(r) \cdot P_{l,m}(\theta) \cdot e^{i[m\phi - \frac{E_n t}{\hbar}]}$$

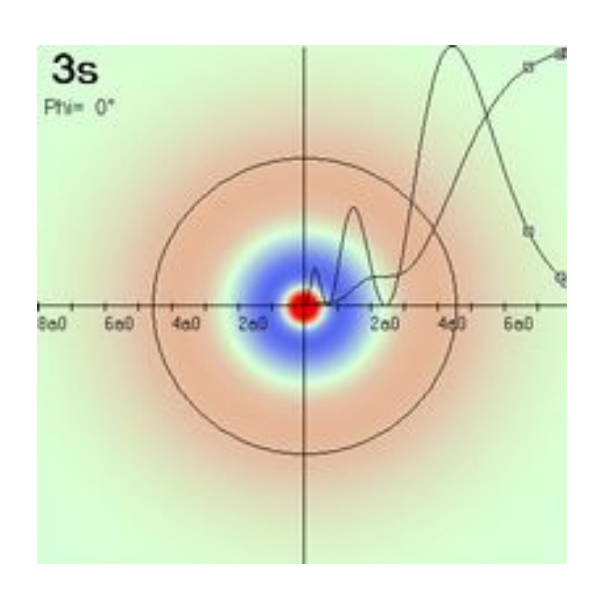
Ou: $\psi_{n,l,m} = R_{n,l}(r) \text{ YI,m}(\theta,\varphi)$ Si on pose ρ = 2 Z r / n a°, alors on obtient la série d'équations suivantes (avec a°, rayon de Bohr, 53 pm)

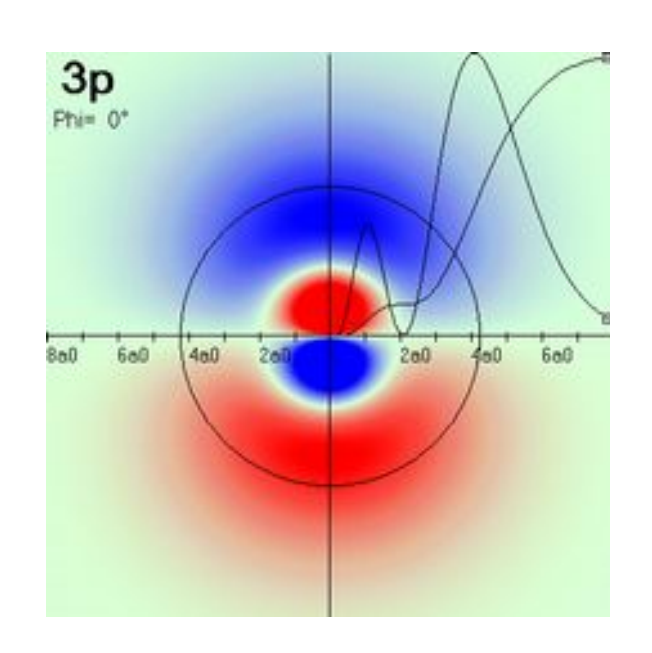
 $E = Z^{2}E^{\circ}/n^{2} E^{\circ} = - me^{4}/2h^{2}$

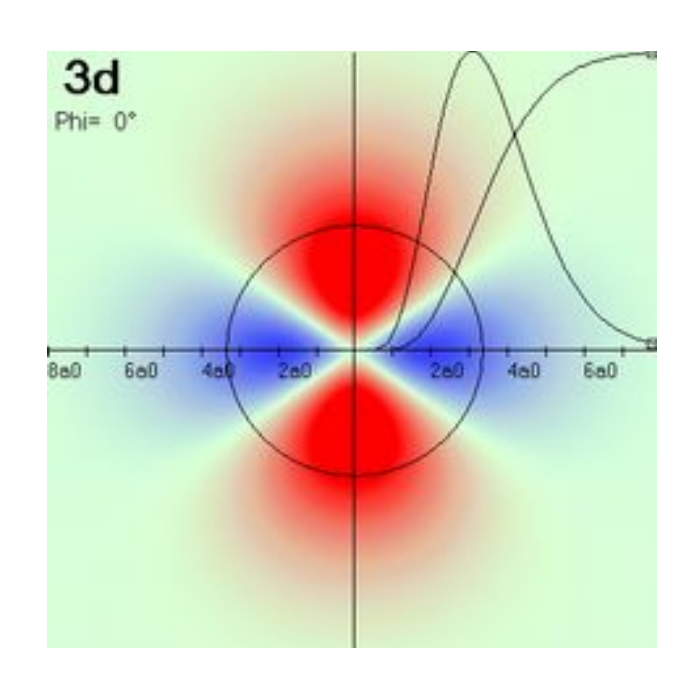
Fonctions radiales

Couche	n	l	Orbitale	Les fonctions d'ondes radiales $R_{n,l}(r)$ pour les hydrogénoides
К	1	0	18	$R_{1,0}(r) = (Z/a_0)^{\frac{3}{2}} \cdot 2e^{-\frac{\rho}{2}}$
I.	2	0	2s	$\begin{aligned} \mathbf{R}_{2,0}(r) &= \frac{(\mathbf{Z}/a_0)^{\frac{3}{2}}}{2\sqrt{2}} (2 - \rho)e^{-\frac{\rho}{2}} \\ \mathbf{R}_{2,1}(r) &= \frac{(\mathbf{Z}/a_0)^{\frac{3}{2}}}{2\sqrt{6}} \rho e^{-\frac{\rho}{2}} \end{aligned}$
2	1	2p	$R_{2,1}(r) = \frac{(Z/a_0)^{\frac{3}{2}}}{2\sqrt{6}} \rho e^{-\frac{\theta}{2}}$	
	3	0	3s	$R_{3,0}(r) = \frac{(Z/a_0)^{\frac{3}{2}}}{9\sqrt{3}} (6 - 6\rho + \rho^2) e^{-\frac{\rho}{2}}$ $R_{3,1}(r) = \frac{(Z/a_0)^{\frac{3}{2}}}{9\sqrt{6}} (4 - \rho) \rho e^{-\frac{\rho}{2}}$
M	3	1	3 <i>p</i>	$\mathbf{R_{3,1}}(r) = \frac{(\mathbf{Z}/a_0)^{\frac{3}{2}}}{9\sqrt{6}}(4 - \rho)\rho e^{-\frac{\rho}{2}}$
	3	2	3 <i>d</i>	$R_{3,2}(r) = \frac{(Z/a_0)^{\frac{3}{2}}}{9\sqrt{30}} \rho^2 e^{-\frac{2}{2}}$

Orbitales







- s, p, d, f provient de propriétés spectroscopiques, on peut y ajouter un moyen mnémotechnique.
 •s: sphérique (sharp)
 •p: plan (principal)
 •d: dual (diffuse)
 •f: ? (fundamental)

Orbitale et fonction d'onde

 Fonction d'onde: Champ scalaire dont le carré décrit la densité de probabilité de présence de l'ensemble des électrons (plusieurs électrons)

Orbitale

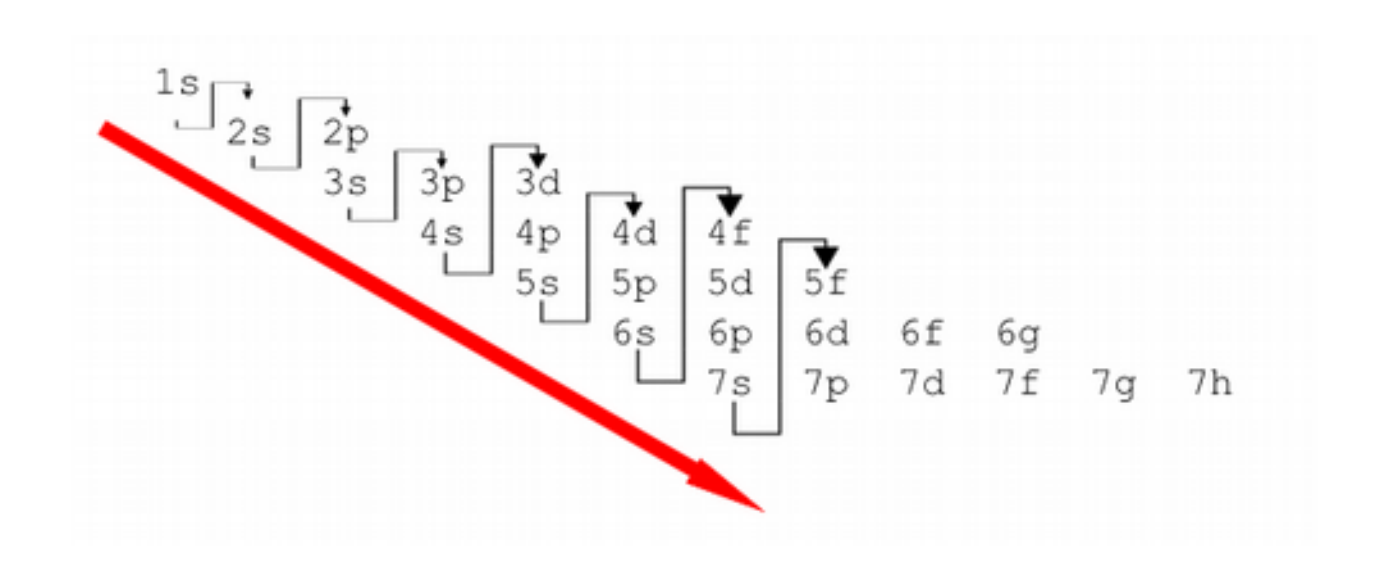
- Champ scalaire identique à une fonction d'onde monoélectronique.
- approximation orbitalaire: la fonction d'onde électronique d'un atome polyélectronique est la juxtaposition d'orbitales remplies avec des électrons.

Comment remplir les orbitales?

Atome polyélectronique

- On se base sur le modèle "hydrogénoïde"
- On remplit les cases quantiques suivant la règle de Klechkovski, qui connaît cependant des exceptions.
- On applique le principe d'exclusion de Pauli, pas plus de 2 électrons et de spin opposés dans la même orbitale.
- On garde en mémoire le phénomène de répulsion inter électronique

Les orbitales dans l'ordre de Klechkowski



1s 2s 2p 3s 3p 4s 3d 4p 5s 4d 5p 6s 4f 5d 6p 7s 5f

Exemple: configuration électronique du fer

couche K couche L couche M

₂₆Fe: 1s² 2s² 2p⁶ 3s² 3p⁶ 4s² 3d⁶

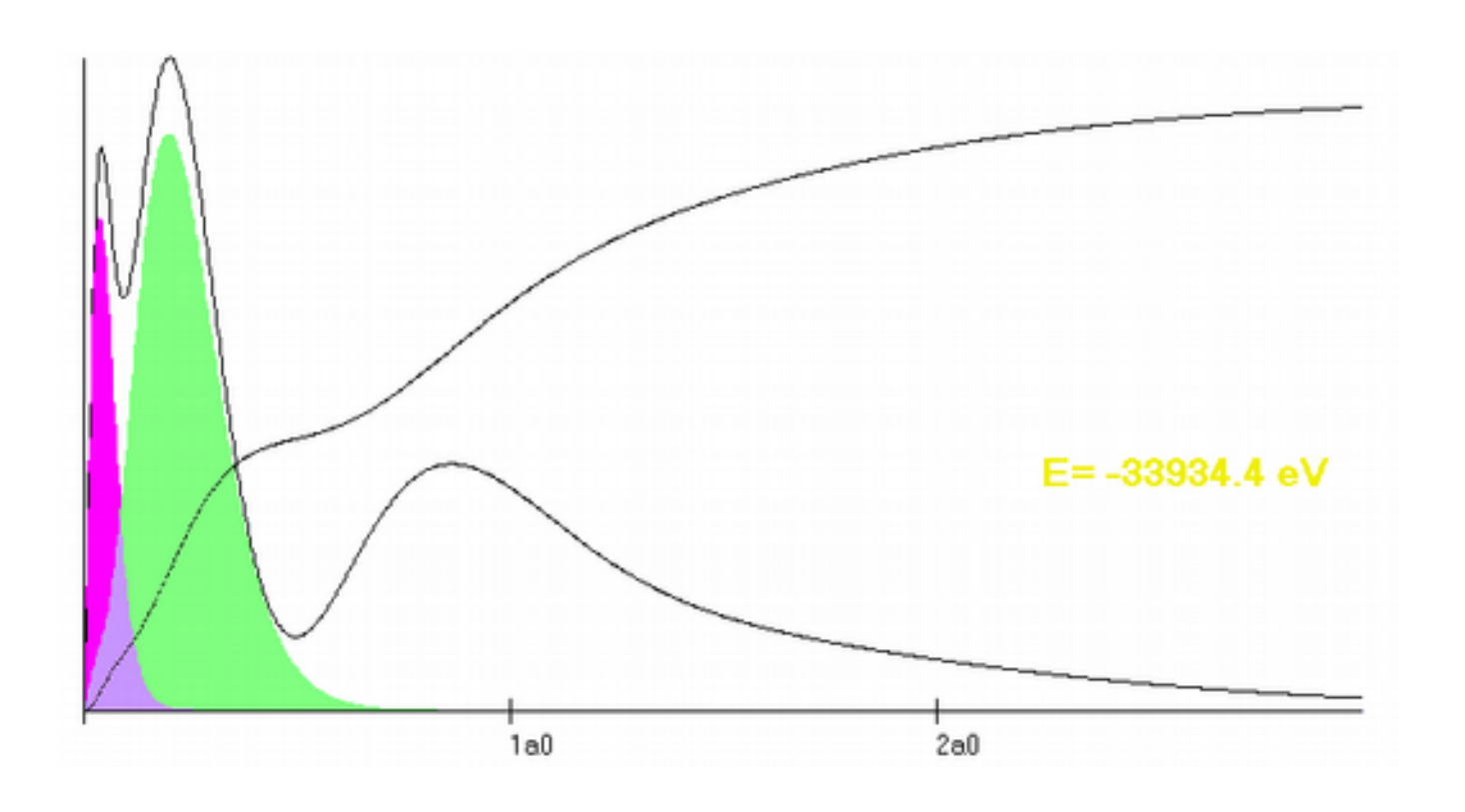
 ${}_{18}Ar: \ 1s^2 \ 2s^2 \ 2p^6 \ 3s^2 \ 3p^6 \qquad {}_{\text{Couches pleines}}$

₂₆Fe: [Ar] 4s² 3d⁶

Electrons de valence

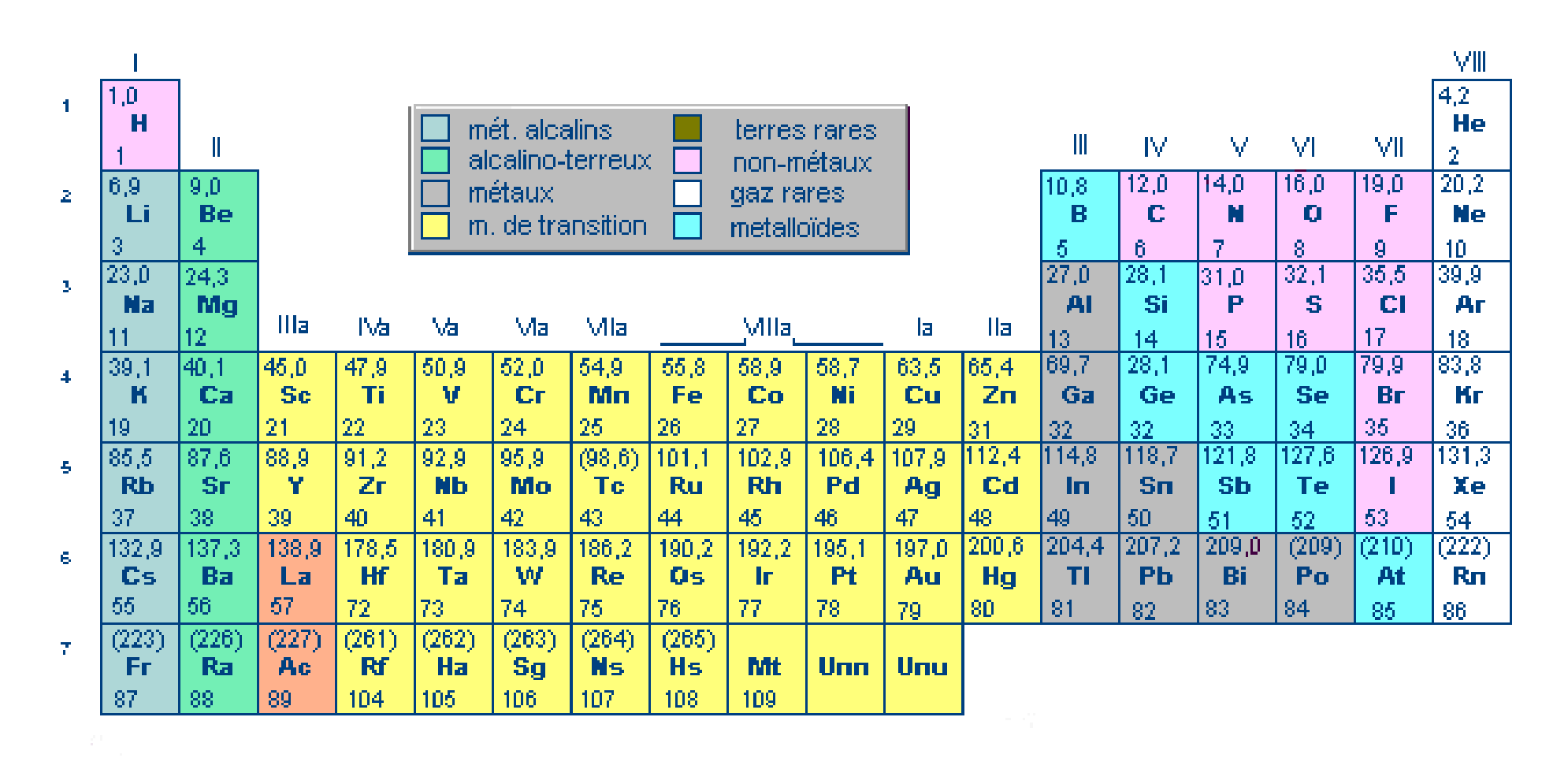
Electrons de coeur

Couches électroniques



Couches K et L du fer (Fe, Z=26)

Tableau périodique: familles

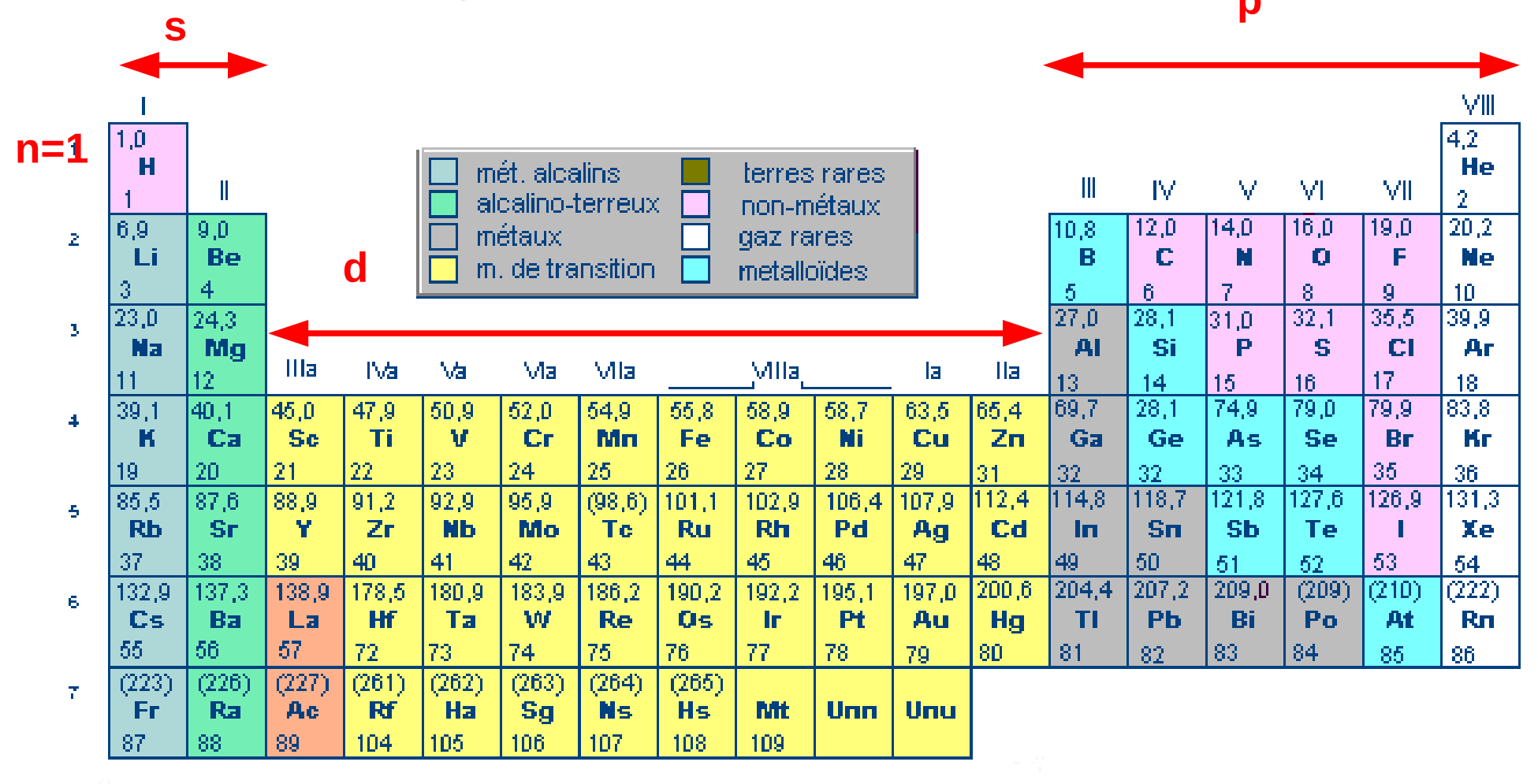


Lanthanides

Actinides:

140,1 Ce	140,9 Pr	144,2 Nd	(145) Pm	150,4 Sm	152,0 Eu	157,3 Gd	158,9 Т Ь	162,5 Dy	164,9 Ho	167,3 En	168,9 Tm	173,0 Yb	175,0 Lu
58	59	60	61	62	63	64	65	66	67	68	69	70	71
232,0	231,0	238,0	237,0	(244)	(243)	(247)	(247)	(251)	(254)	(257)	(258)	(259)	(260)
Th	Pa	U	Np	Pu	Am	Cm	Bk	Cf	Es	Fm	Md	No	Lr
90	91	92	93	94	95	96	97	98	99	100	101	102	103

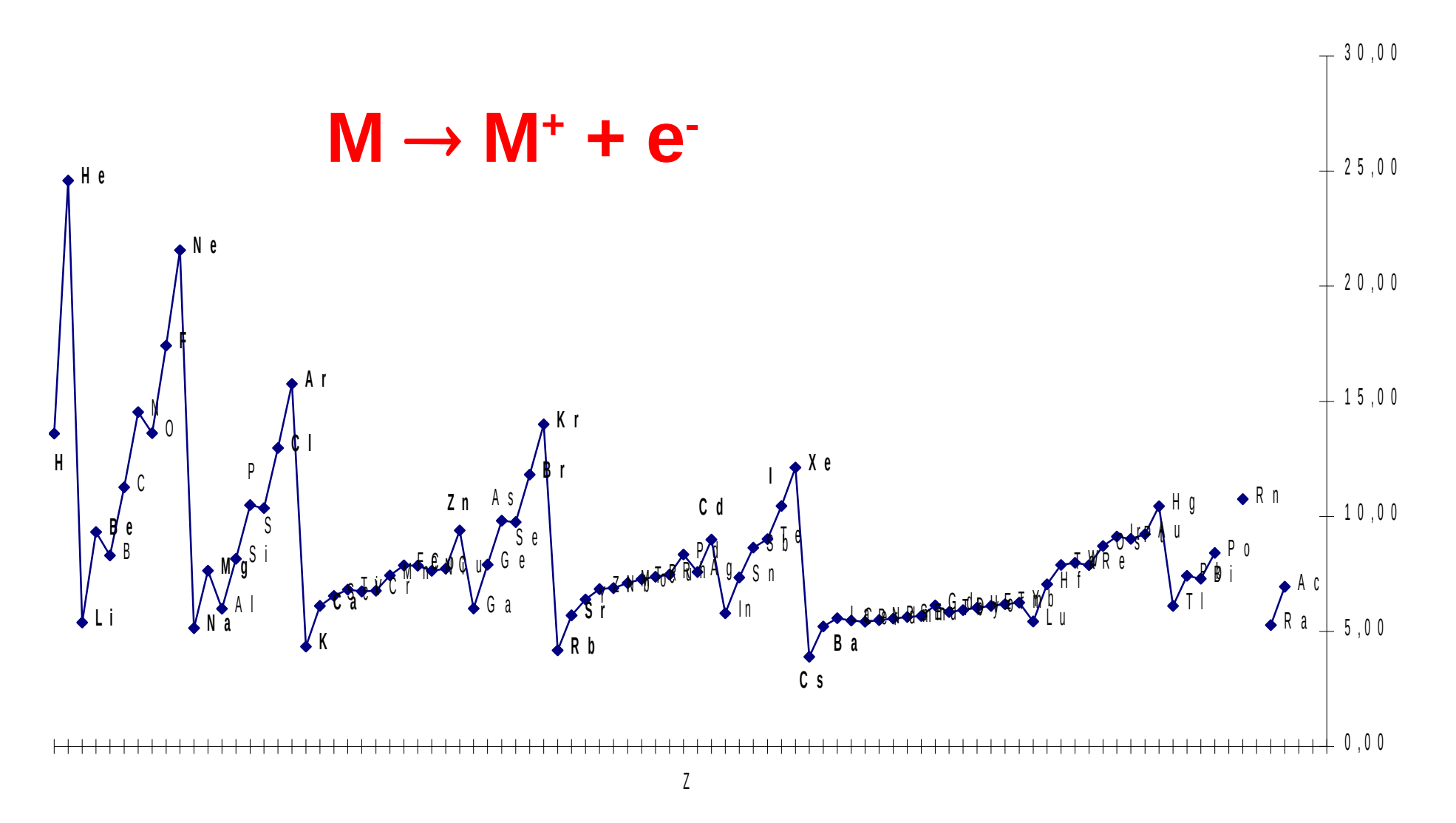
Lignes et colones

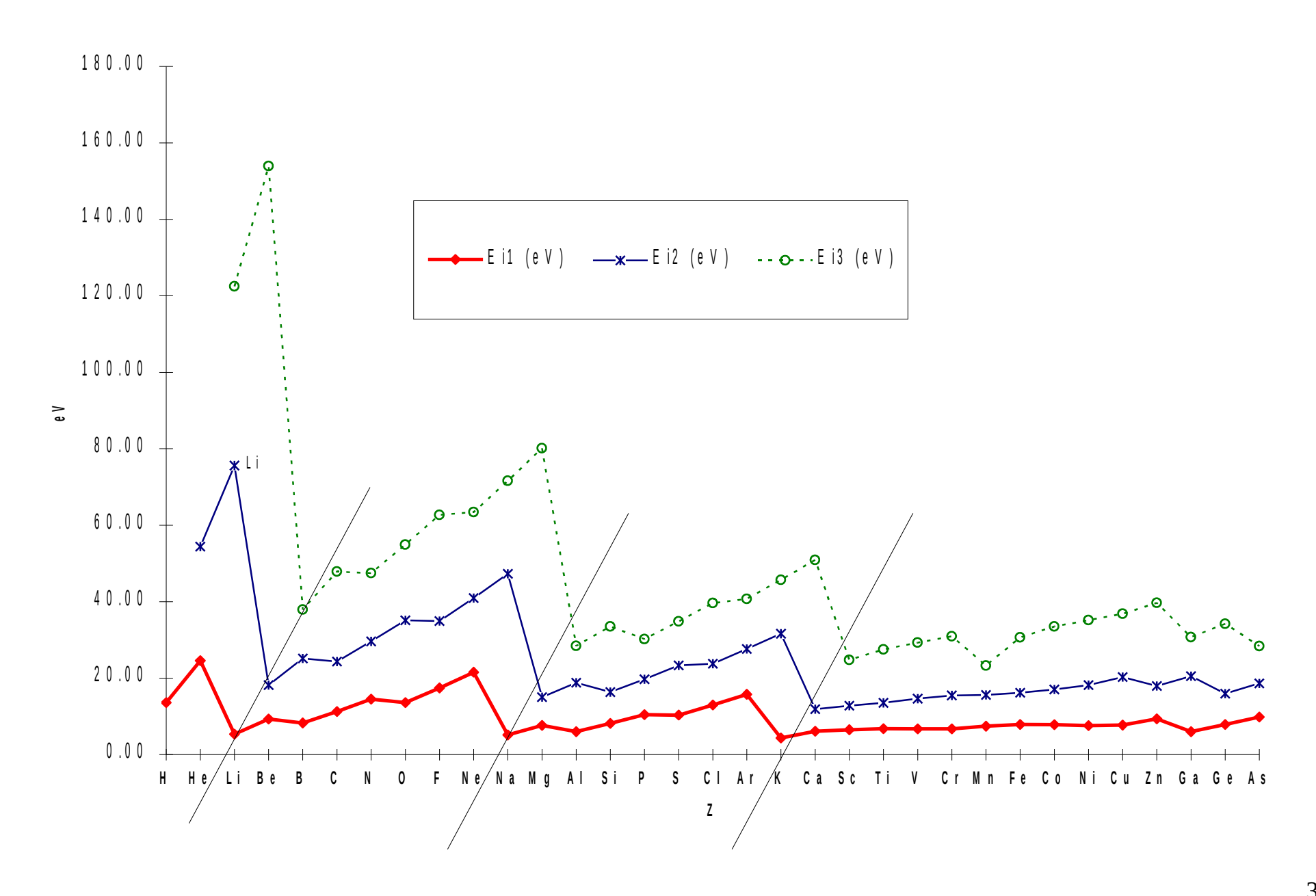


	140,1	140,9	144,2	(145)	150,4	152,0	157,3	158,9	162,5	164,9	167,3	168,9	173,0	175,0
Lanthanides	Ce	Pr	Nd	Pm	Sm	Eu	Gd	ТЬ	Dy	Но	Er	Tm	Yb	Lu
	58	59	60	61	62	63	64	65	66	67	68	69	70	71
	232,0	231,0	238,0	237,0	(244)	(243)	(247)	(247)	(251)	(254)	(257)	(258)	(259)	(260)
Actinides	Th	Pa	U	Np	Pu	Am	Cm	Bk	Cf	Es	Fm	Md	No	Lr
	90	91	92	93	94	95	96	97	98	99	100	101	102	103

f

Première énergie d'ionisation (eV)





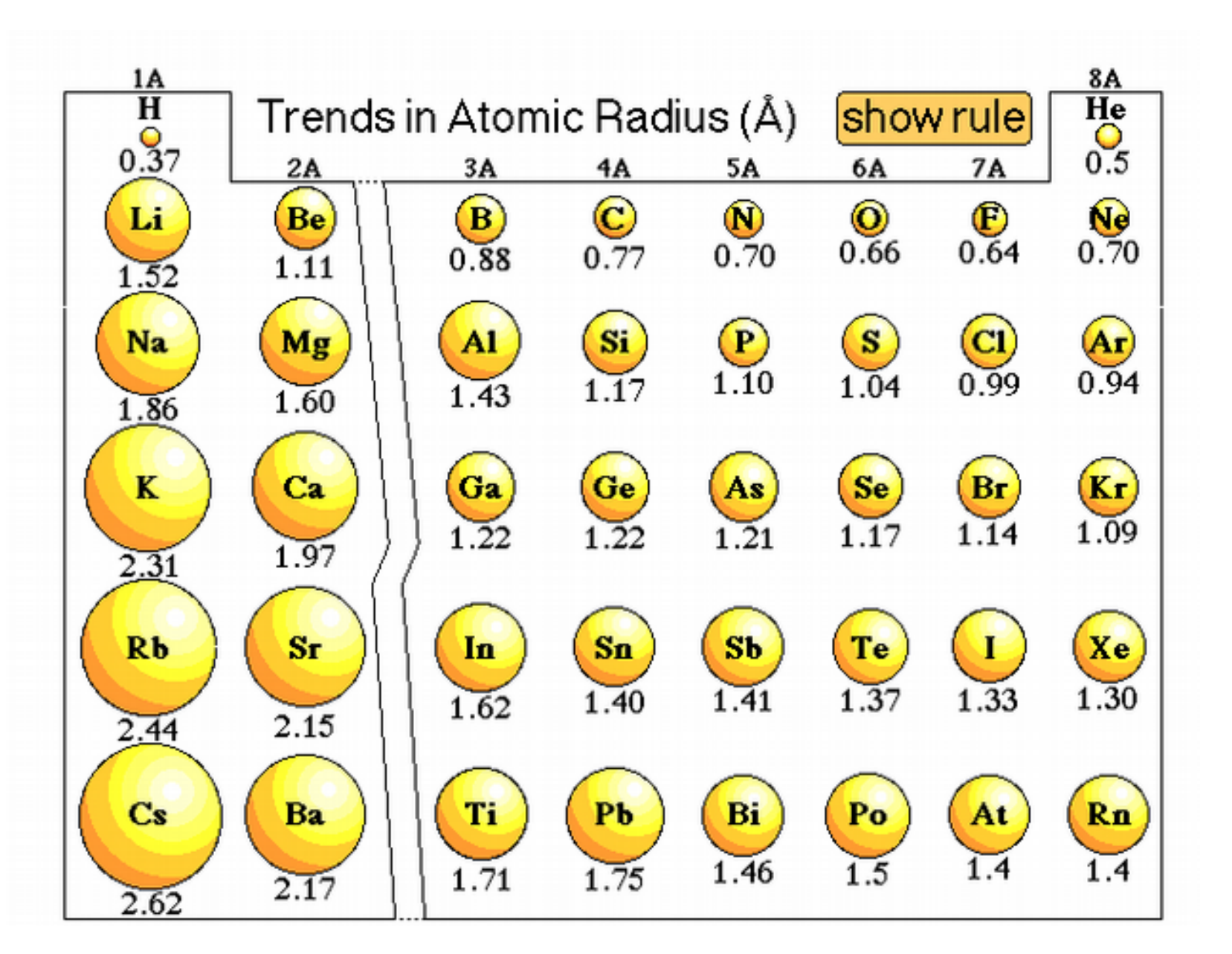
Règles de Slater

Tableau Calcul

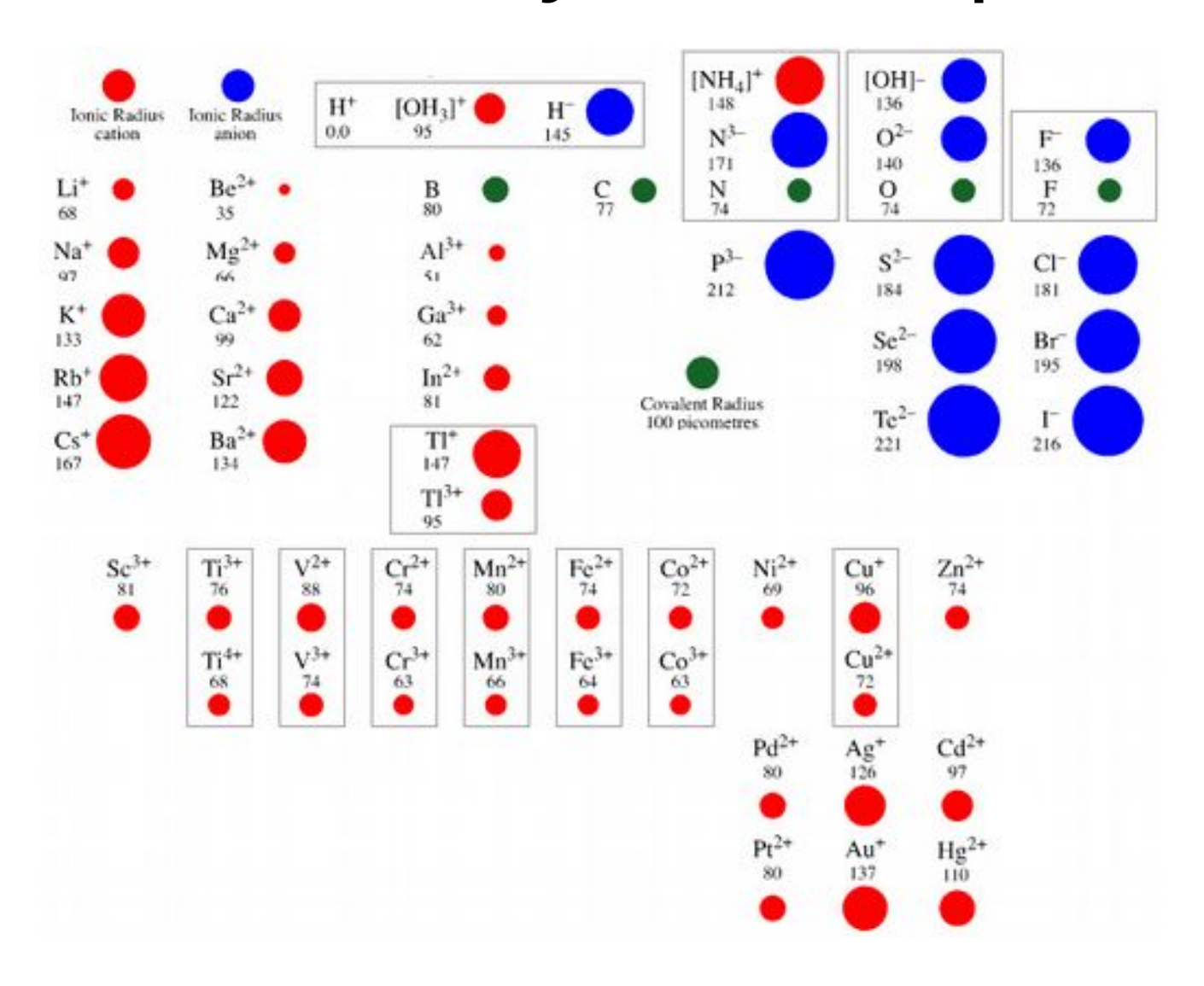
Electron d'origine	n-2, n-3	n-1	n	n+1, n+2
			s,p // d // f	
s,p	1	0.85	0.35 // 0 //0	0
d	1	1	1 // 0.35 // 0	0
f	1	1	1 // 1 // 0.35	0

E=- E° Z^{*2}/n^{*2} avec E°= 13.59eV n* = n pour n = 2 ou 3; n* = 3,6 pour n=4 et n* = 4 pour n = 5. r = 21.5 (n^{*2}/Z^*) + 14.8 n* + 22.5 pm

Rayon atomique



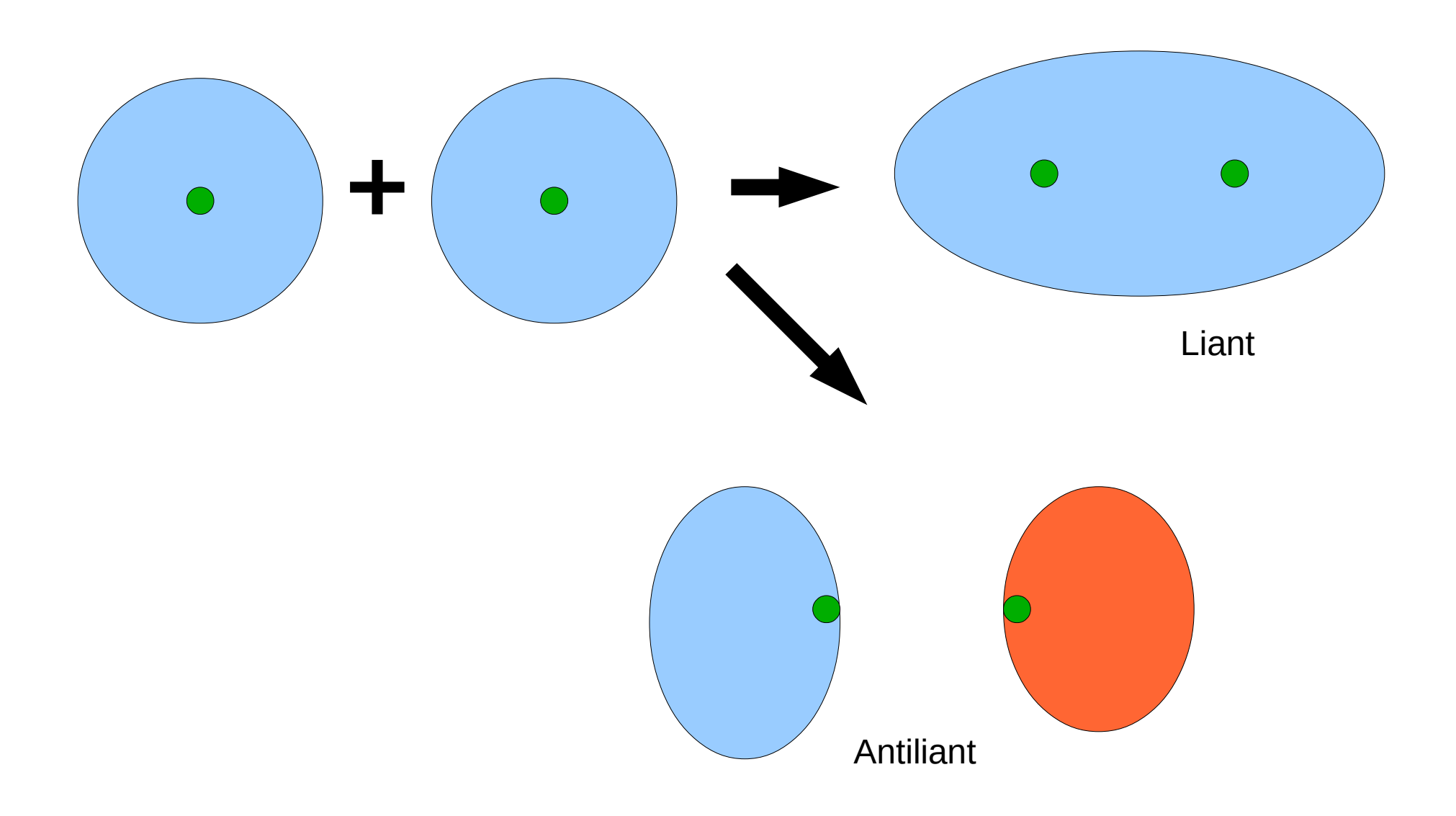
Rayons ioniques



Liaisons entre atomes: rappels

- Indice de liaison
- Paramagnétisme, diamagnétisme
- Force de la liaison
- Énergie de liaison
- moment dipolaire
- Modèles de Lewis, LCAO

Rappel: LCAO



Définition électronégativité

- Dissymétrie du nuage électronique dans la liaison A-B (HF par exemple)
- Polarisation de la liaison
- Moment dipolaire
- Intensité du moment dipolaire dépend de la différence d'électronégativité

Moment dipolaire

- Vecteur, comme une boussole, s'applique à une liaison comme à une molécule.
- Dans le modèle de Lewis, les moments dipolaires de chaque liaison s'additionnent pour donner le moment dipolaire de la molécule
- Caractère ionique partiel, donne la quantité d'intensité de liaison apporté par l'attraction résultant de la dissymétrie des charges

Échelles d'électronégativité

$$\mu = \chi_A - \chi_B$$

- Définition atomique pure:
 - Mulliken ½ (Ea + Ei), force sur e-
- Définition atomique mâtinée de molécule
 - Allred-Rochow Z*/r², r est le rayon covalent soit ½
 de la longueur de liaison A-A, force sur e-
- Définition moléculaire
 - Pauling , part ionique dans l'énergie de liaison.

$$\sqrt{E_{AB}} - \sqrt{E_{AA}} E_{BB}$$

Allred-Rochow

$$\chi = 3590 Z^*/r^2 + 0.744$$

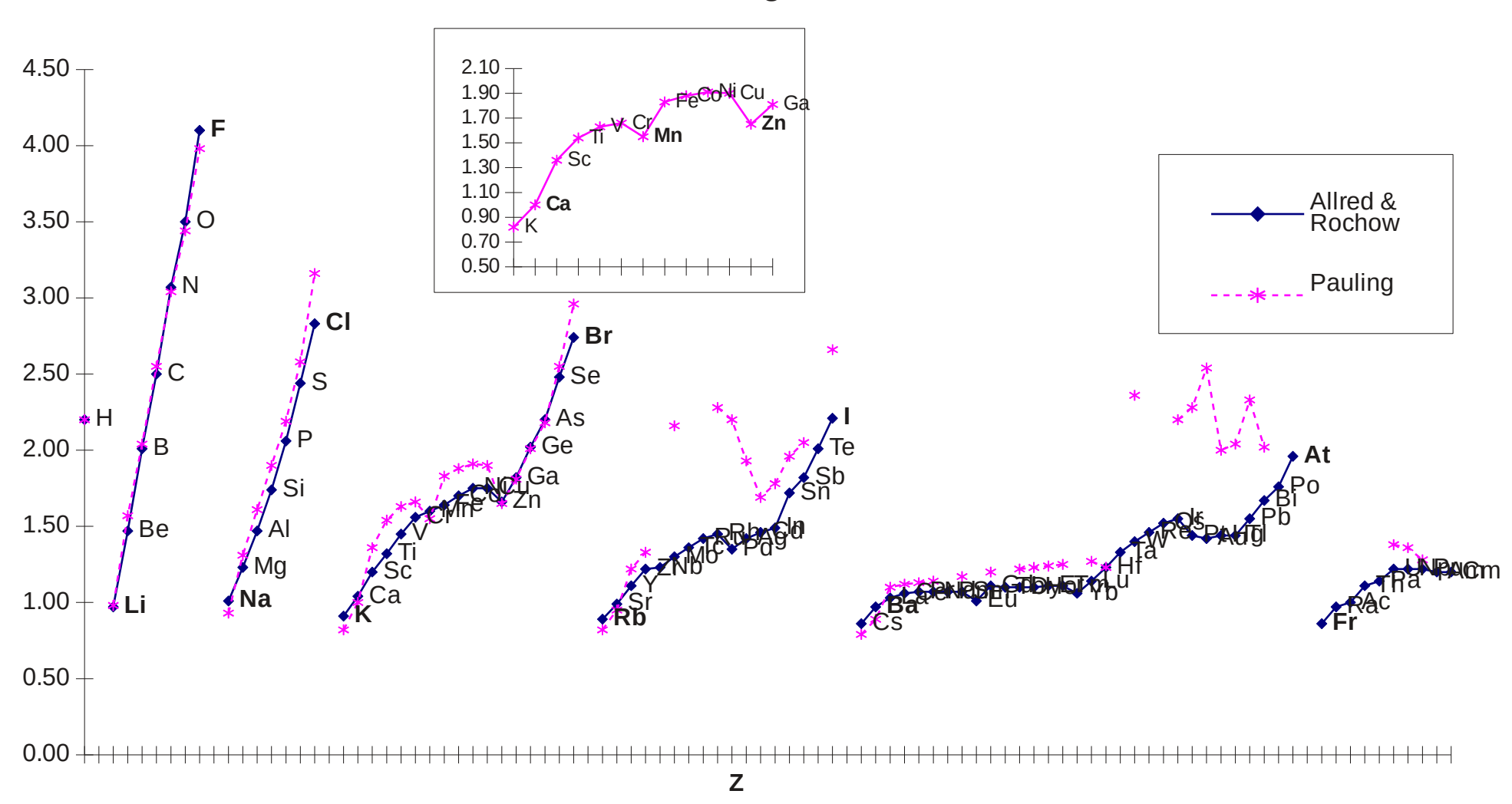
Pauling

$$\chi_{A} - \chi_{B} = 0.102 \ \sqrt{\Delta} \qquad \chi_{H} = 2.22$$

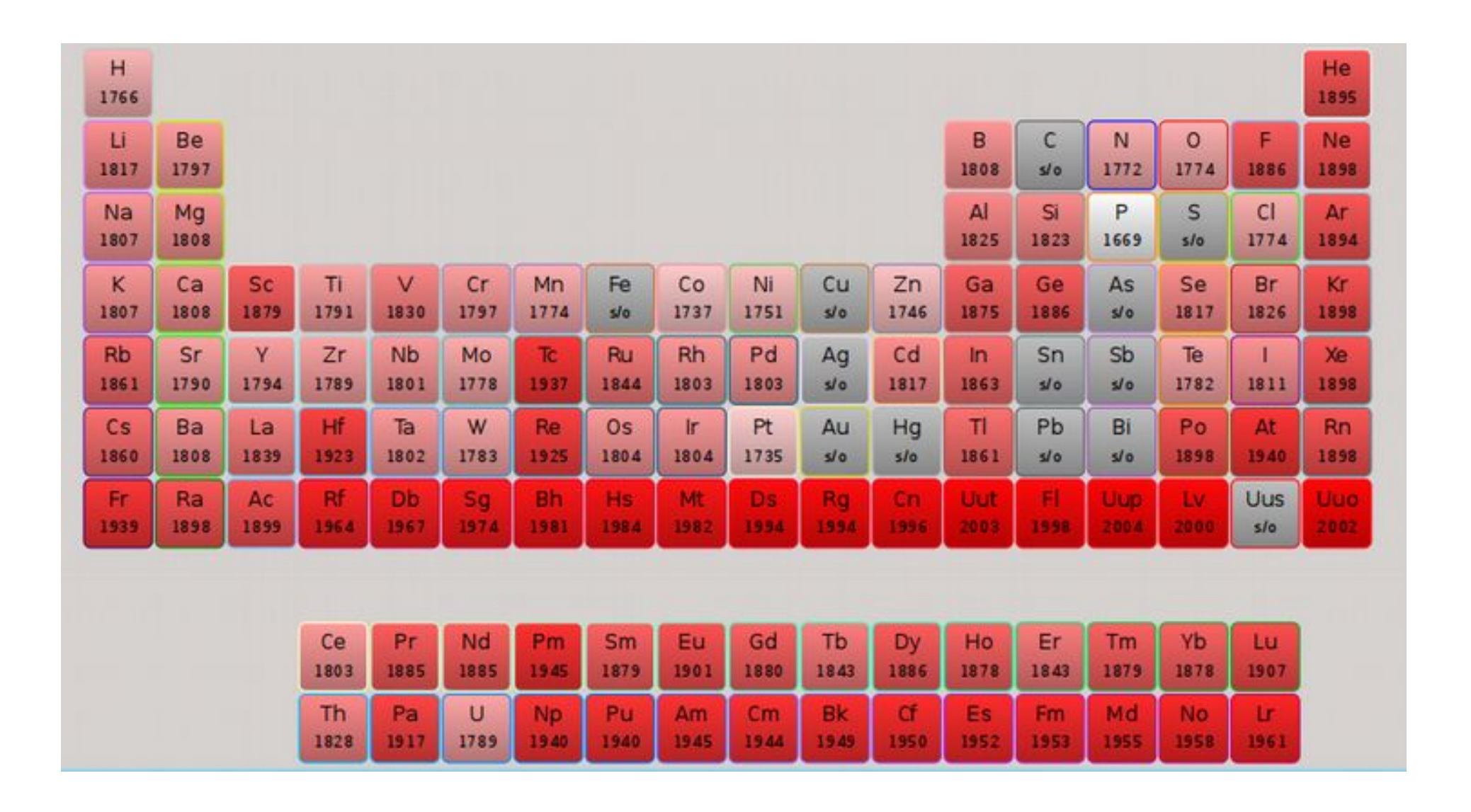
$$\Delta = E_{A-B} - \sqrt{E_{AA}E_{BB}}$$

Electronégativité

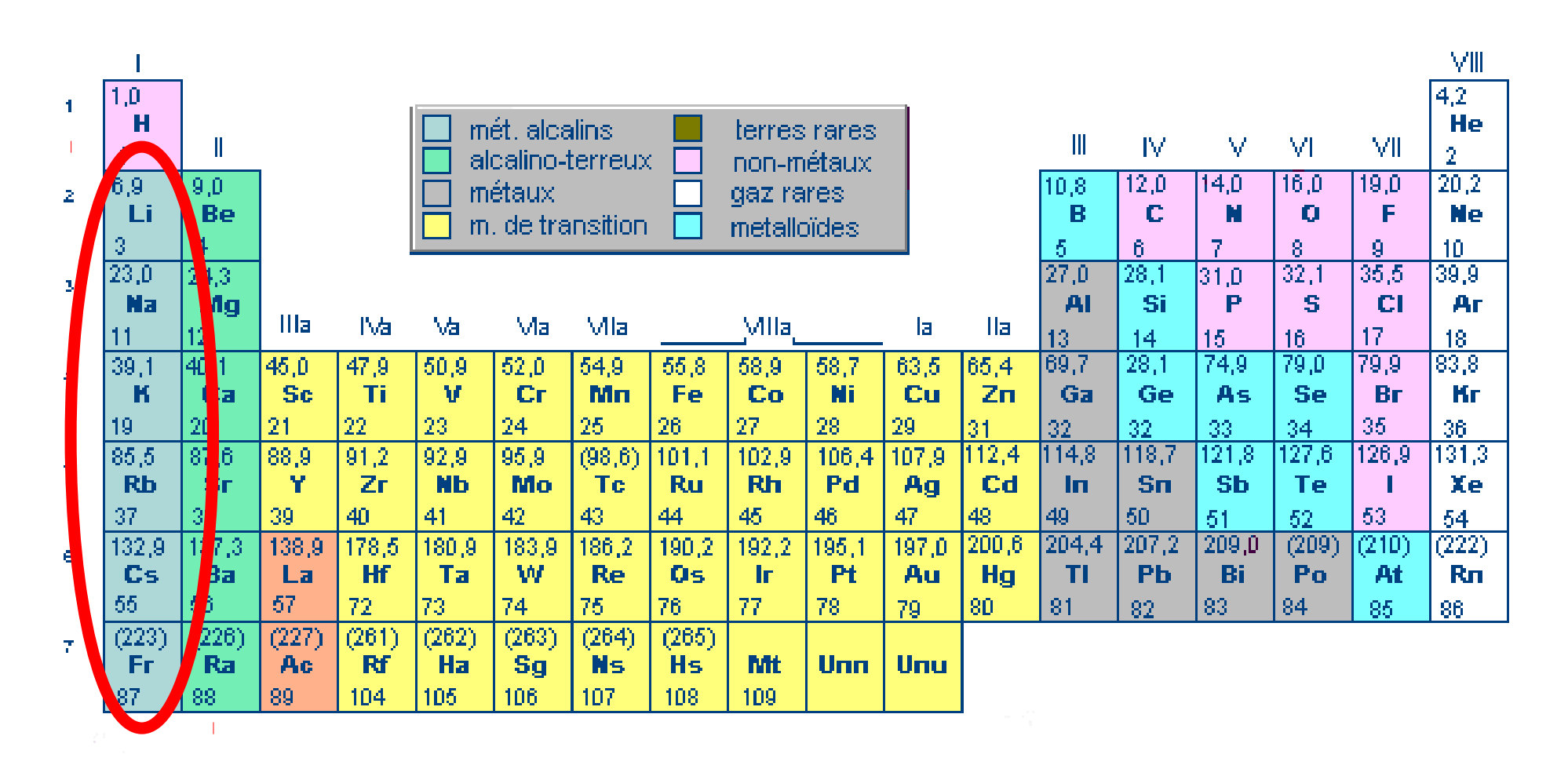
Electronégativité



Isoler les éléments: date de découverte



Les alcalins



Lanthanides

Actinides

140,1 Ce	140,9 Pr	144,2 Nd	(145) Pm	150,4 Sm	152,0 Eu	157,3 Gd	158,9 Т Ь	162,5 Dy	164,9 Ho	167,3 En	168,9 Tm	173,0 Yb	175,0 Lu
58	59	60	61	62	63	64	65	66	67	68	69	70	71
232,0	231,0	238,0	237,0	(244)	(243)	(247)	(247)	(251)	(254)	(257)	(258)	(259)	(260)
Th	Pa	U	Np	Pu	Am	Cm	Bk	Cf	Es	Fm	Md	No	Lr
90	91	92	93	94	95	96	97	98	99	100	101	102	103

Abondance

- Na 2.6% (halite NaCl) K 2.4% (carnallite KCl.MgCl₂.6H₂O)
- Li, Rb et Cs très peu dans les silicates
- Fr: pas d'isotope stable, 22 mois pour ²²³Fr

Utilisation

- Na-Pb plomb tétralkyl
- NaOH, NaCO3, Na2SO4, Na4SiO4
- K₂SO₄ (engrais)
- Li pour alkyl lithium, Li⁺ soigne la schizophrénie.
- Li dans les batteries d'accumulateur, les piles.

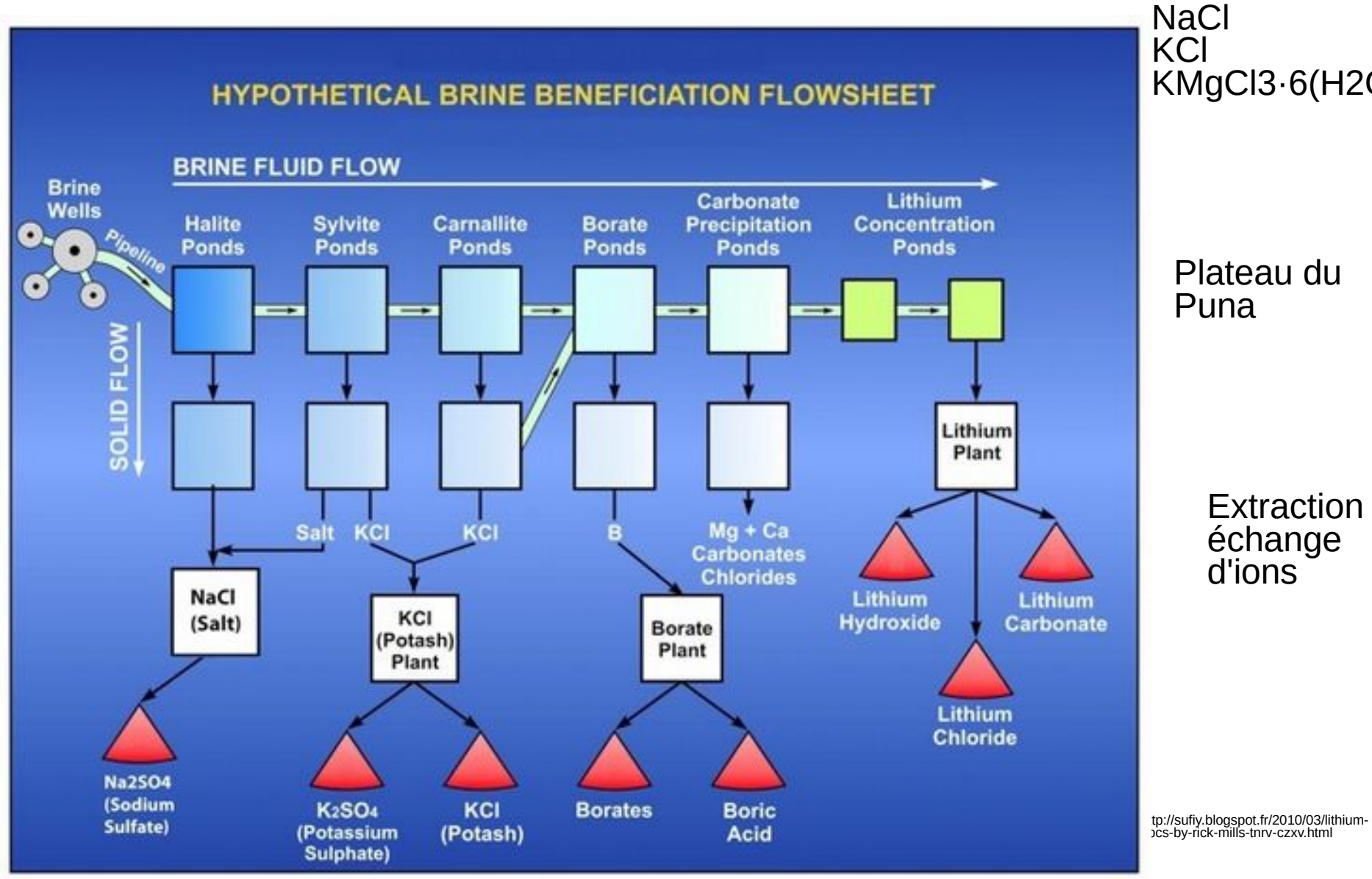
Forme courante

- M⁺, parfois covalent surtout pour Li
- Li+ voisin de Mg²⁺ par son champ de force Z*/R
- K+ ressemble à NH₄⁺
- Rb⁺ ressemble à Tl⁺ et un peu Ag⁺

Préparation

- Na et Li par électrolyse de sels fondus (eutectique CaCl2+NaCl)
- K, Rb et Cs par réaction des chlorures avec Na en phase gaz à contre courant, puis distillation.
- NaCl, le plus stable des chlorures

Le lithium



KMgCl3·6(H2O)

Plateau du

Extraction par échange d'ions







Solide ionique

- CsCl, coordinance 8
- NaCl, coordinance 6
- Formation des solides ioniques: adaptation de la taille des anions et des cations
- MOH, bases fortes sauf LiOH (covalence)
- Ions et cristaux incolores
- Défauts F (trou+électron)

Réactivité

- $2 \text{ Li} + \frac{1}{2} \text{ O}_2 \rightarrow \text{ Li}_2 \text{ O}$
- 2 Na + $O_2 \rightarrow Na_2O_2$
- K, Rb, Cs → MO₂
- effet de taille, les gros cations sont stabilisés par les gros anions
- Li + 3/2 N₂ → LiN₃ (azoture de lithium)

Solubilité

- Sels de Na solubles, sauf $NaZn(UO_2)_3(CH_3CO_2)_9,6H_2O$ (uranyl acétate de sodium)
- K⁺, Rb⁺, Cs⁺, perchlorates (ClO₄⁻) insolubles
- Dissolution dans NH₃ liquide
 - Na → Na⁺ + e⁻ (solution bleue)

Solvatation

- Li⁺ tétraédrique
- Rb⁺ et Cs⁺ octaédrique
- Na⁺ et K⁺ les deux
- Plusieurs sphères d'hydratation, augmentation du nombre de molécules d'eau quand la taille de l'ion diminue.

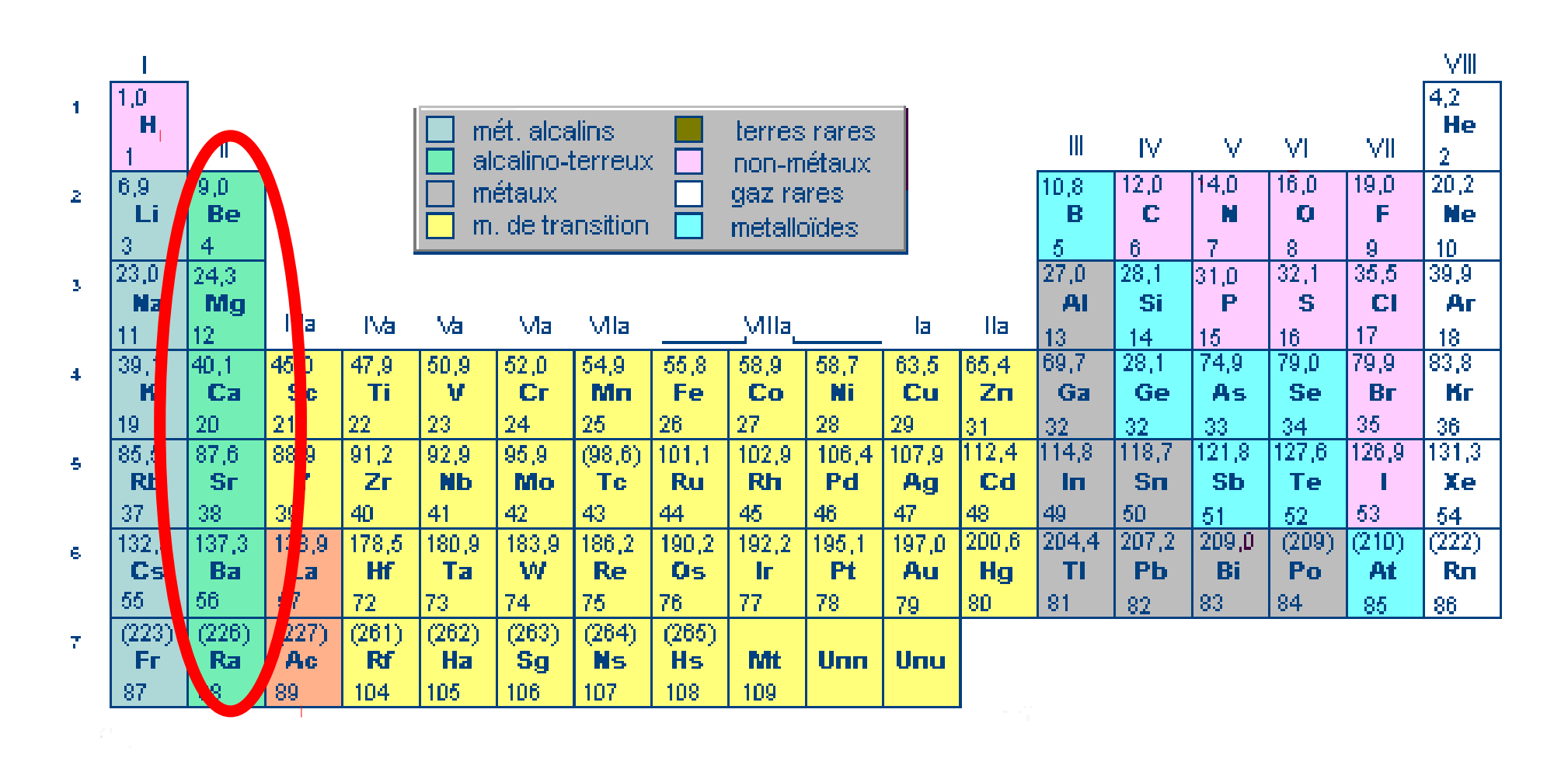
Hydratation

	Li ⁺	Na⁺	K ⁺	Rb⁺	Cs⁺
Ri (pm)	60	66	133	148	169
R Hydr (pm)	340	276	232	228	228
nH2O	25.3	16.6	10.5	10	9.9
Mobilité (S.cm²/mol)	33.5	43.5	64.6	67.5	68
DH°hydr (kJ/mol)	519	406	322	293	264

Organo-métalliques

- Li-C covalent, voir Be-C et Mg-C
- Na-C ionique

Les alcalino-terreux



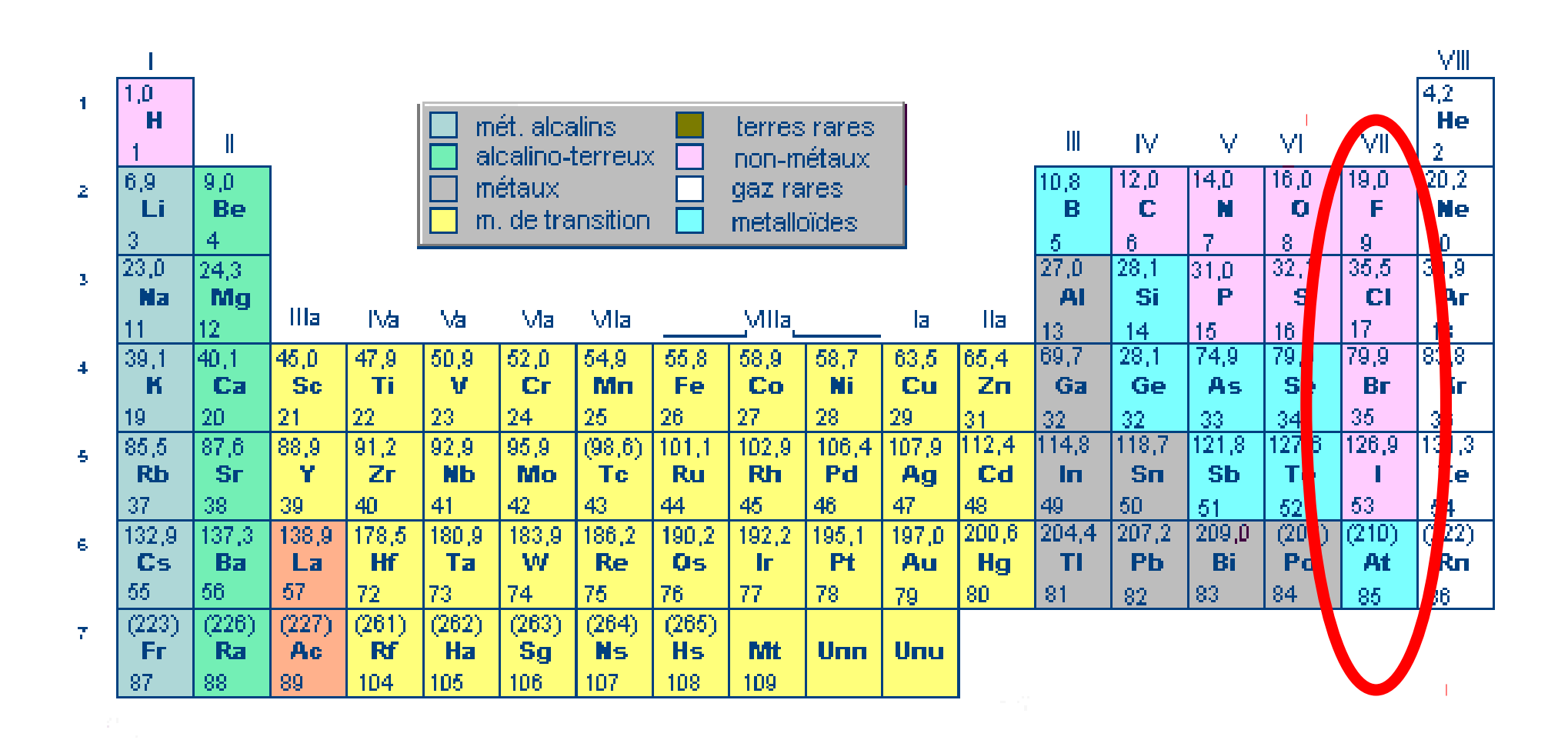
Lanthanides
Actinides

	40,1 Ce	140,9 Pr	144,2 Nd	(145) Pm	150,4 Sm	152,0 Eu	157,3 Gd	158,9 Т Ь	162,5 Dy	164,9 Ho	167,3 En	168,9 Tm	173,0 Yb	175,0 Lu
58	8	59	60	61	62	63	64	65	66	67	68	69	70	71
20	32,0	231,0	238,0	237,0	(244)	(243)	(247)	(247)	(251)	(254)	(257)	(258)	(259)	(260)
1	Γh	Pa	U	Np	Pu	Am	Cm	Bk	Cf	Es	Fm	Md	No	Lr
90	0	91	92	93	94	95	96	97	98	99	100	101	102	103

Quelques utilisations

- Ca très abondant dans des concentrations de carbonates biogéniques et de gypse (évaporites)
- Le calcium dans le bâtiment
 - Oxyde de calcium CaO dans le ciment et le béton
 - Contruction en pierre calcaire (CaCO₃)
 - Le plâtre de Paris CaSO₄, 0.5 H₂O forme du gypse (CaSO₄, 2 H₂O) avec de l'eau.
- Éclat rouge en pyrotechnie (Sr)

Les halogènes



Lar	nth	an	id	38

Actinides:

140,1	140,9	144,2	(145)	150,4	152,0	157,3	158,9	162,5	164,9	167,3	168,9	173,0	175,0
Ce	Pr	Nd	Pm	Sm	Eu	Gd	ТЬ	Dy	Ho	Er	Tm	Yb	Lu
58	59	60	61	62	63	64	65	66	67	68	69	70	71
232,0	231,0	238,0	237,0	(244)	(243)	(247)	(247)	(251)	(254)	(257)	(258)	(259)	(260)
Th	Pa	U	Np	Pu	Am	Cm	Bk	Cf	Es	Fm	Md	No	Lr
90	91	92	93	94	95	96	97	98	99	100	101	102	103

Propriétés

- Forment X⁻ et de bonnes liaisons ioniques avec les alcalins.
- La taille des atomes et des anions augmente quand Z augmente.
- Les molécules X_2 sont oxydantes avec une force décroissante entre F_2 et I_2 .
- Cl_2 utilisé comme antiseptique dans les eaux potables et les piscines, parfois remplacé par I_2 .
- Utilisés en chimie organique: synthèse et polymères



Hauy



Le solide cristallin

Johann Wolfgang von Goethe



Auguste Bravais: 1811-1863







Bragg Röntgen Thomson 1912

Laue



A voir

- Définition d'un cristal
 - Les 14 réseaux de Bravais (1850)
- Cristal métallique
- Solide ionique cristallin
 - Multiplicité, coordinance
 - Compacité
- Energie réticulaire
 - Cycle de Born-Haber
 - Constante de Madelung
- Défauts cristallins

Le cristal

- Maille
- Translation suivant x, y et z
- Paramètre de maille
 - a (cube a suivant x, a suivant y, a suivant z)
 - a et c (a suivant x et y, c suivant z)

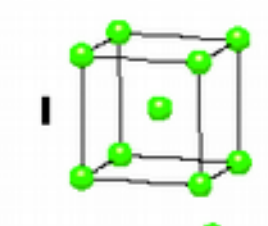
Réseaux de Bravais

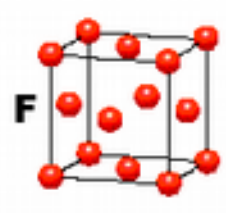


$$a = b = c$$

 $\alpha = \beta = \gamma = 90^{\circ}$



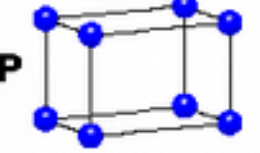


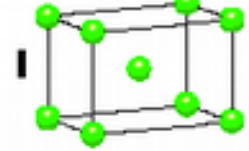


Quadratique

$$a = b \neq c$$

 $\alpha = \beta = \gamma = 90^{\circ}$

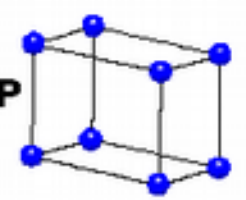


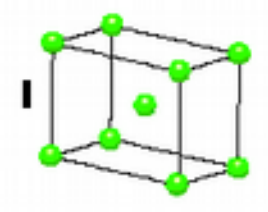


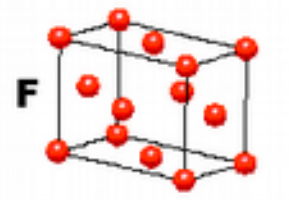
Orthorhombique

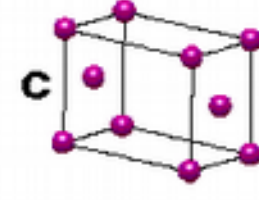
$$a \neq b \neq c$$

 $\alpha = \beta = \gamma = 90^{\circ}$





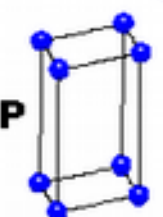


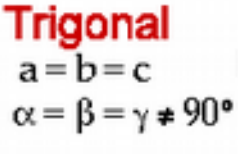


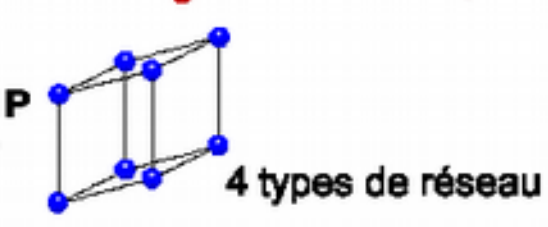
Hexagonal

$$a = b \neq c$$

 $\alpha = \beta = 90^{\circ}$
 $\gamma = 120^{\circ}$



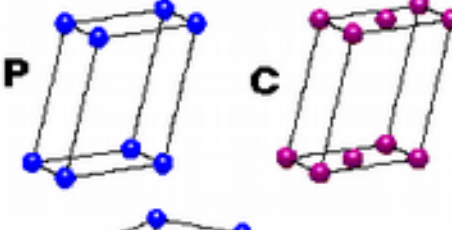




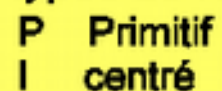
Monoclinique

$$a \neq b \neq c$$

 $\alpha = \gamma = 90^{\circ}$
 $\beta \neq 120^{\circ}$



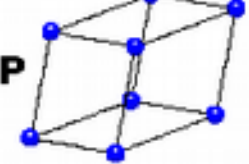
4 types de réseau



+ 7 systèmes cristallins

subaru.univlemans.fr

Triclinique

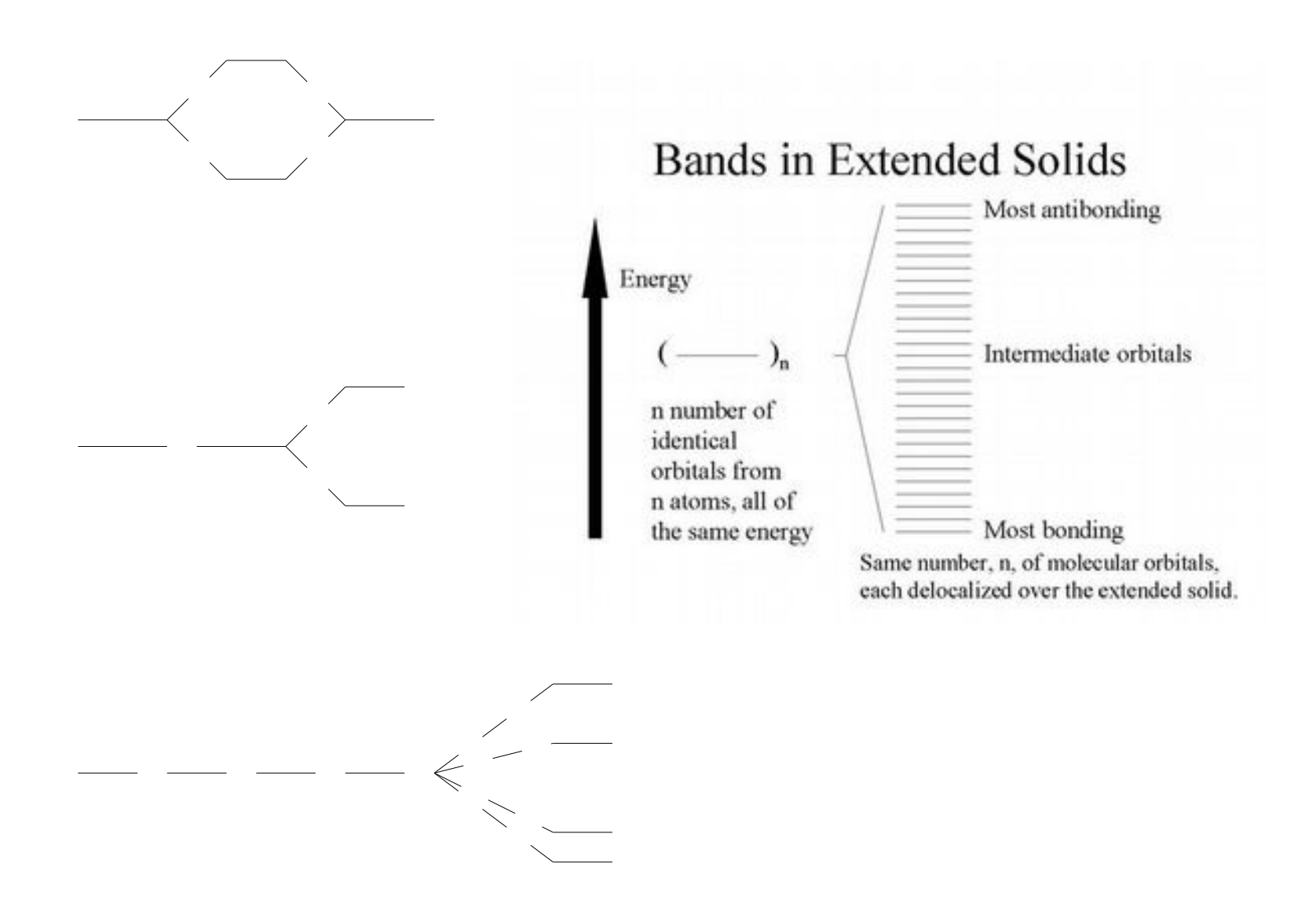




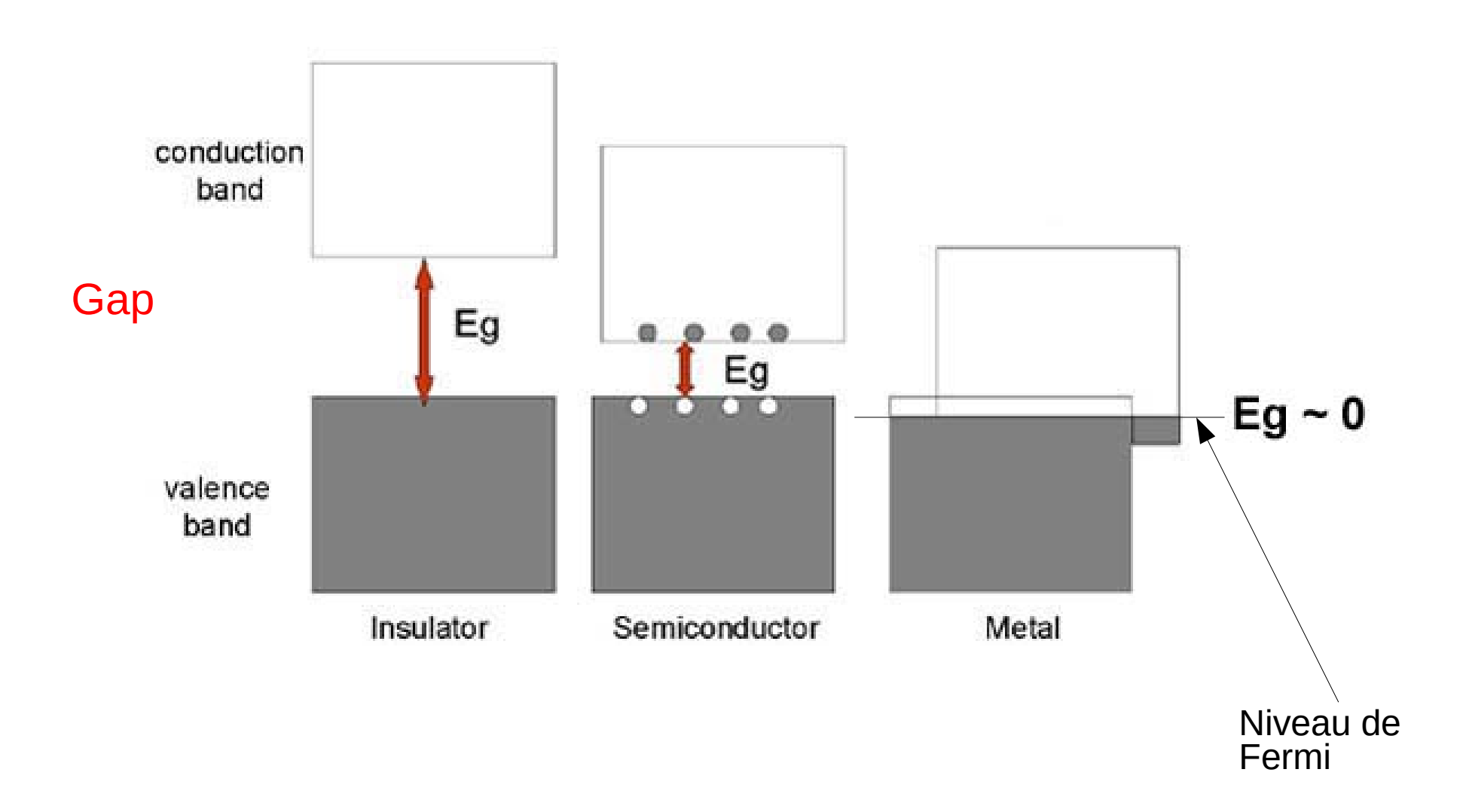
Cristal métallique

- Liaison métallique
- Empilements compact (cfc, hc) ou non (c, cc)
- Compacité

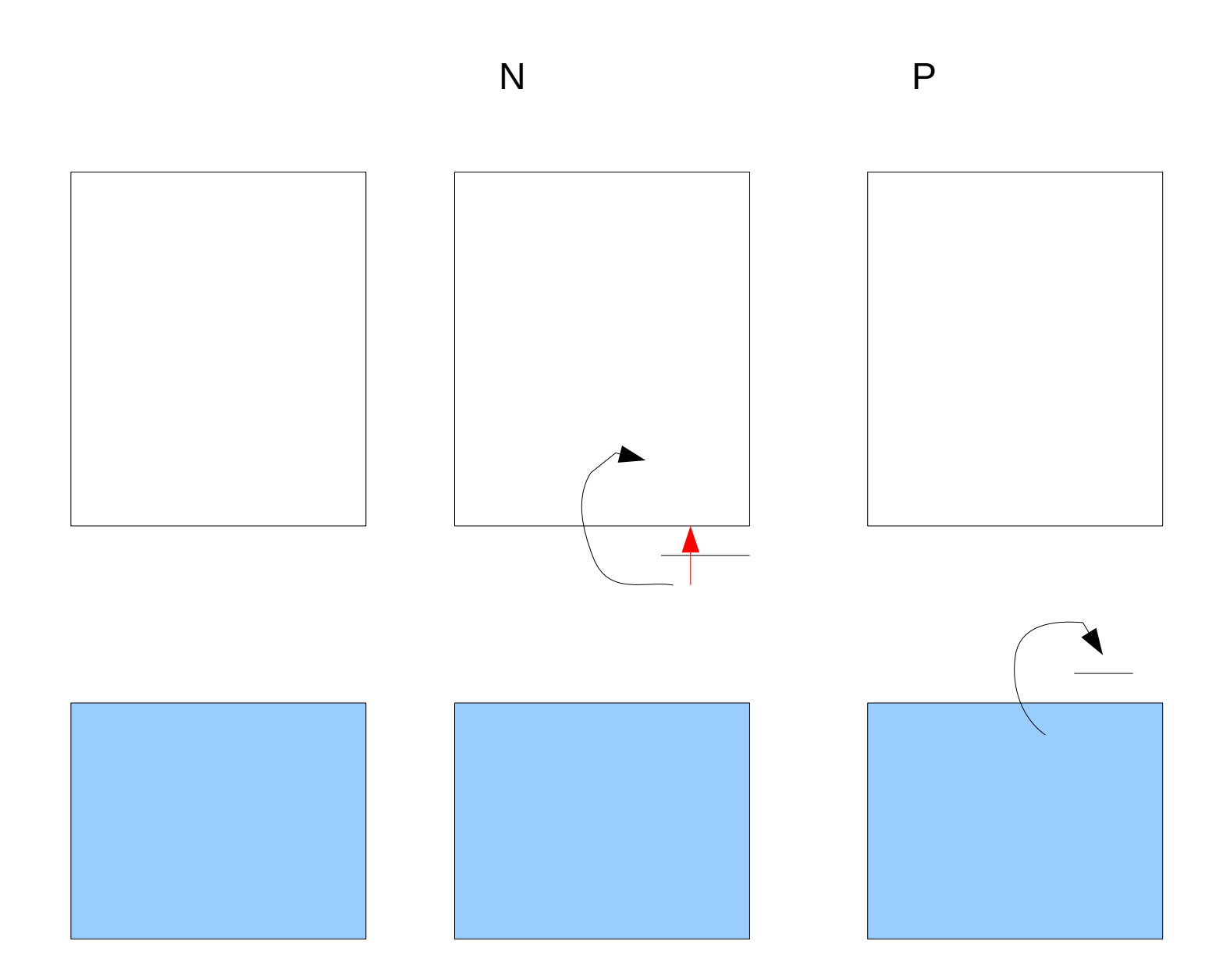
Bandes



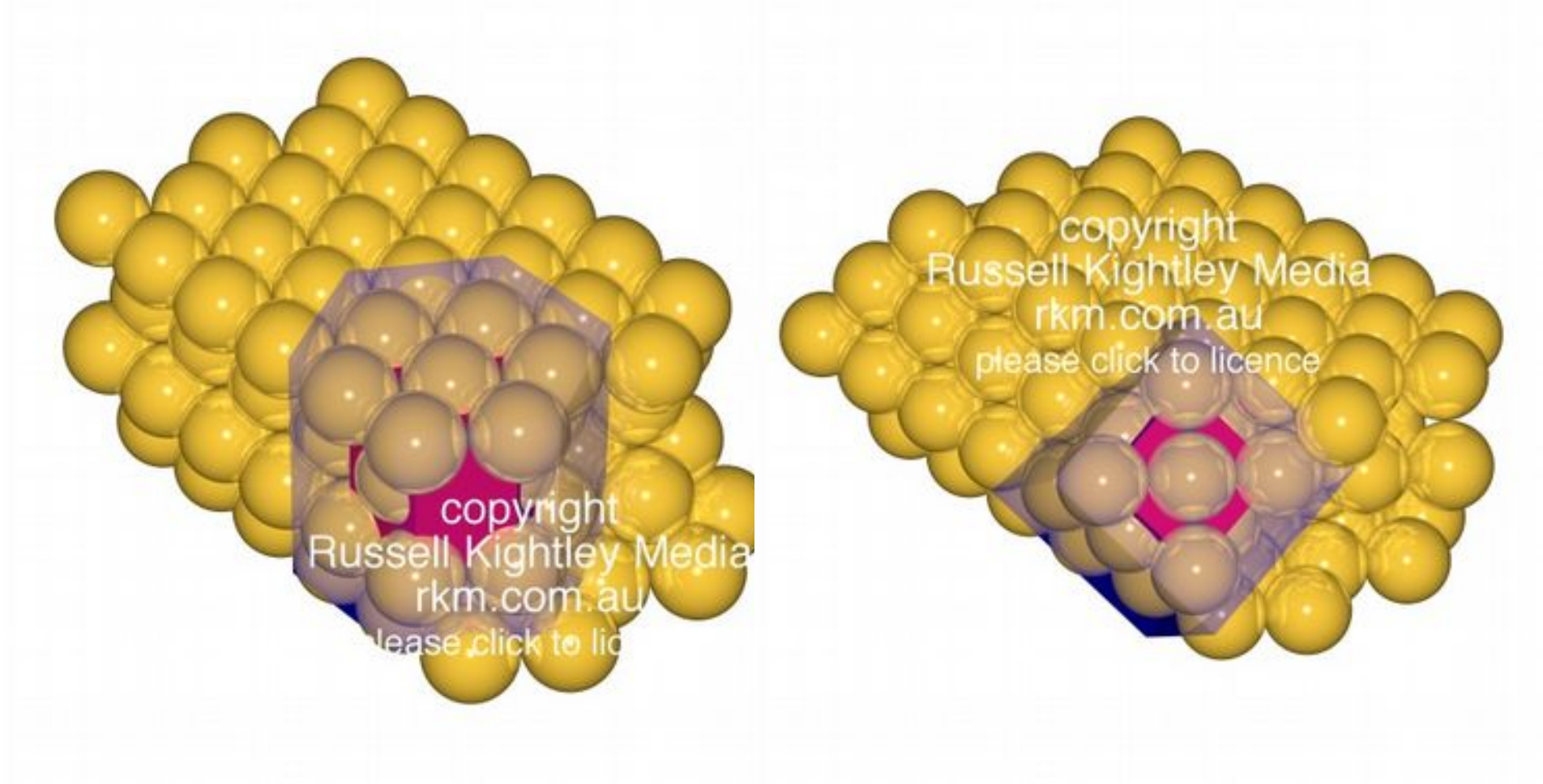
Bande conduction



Semiconducteur dopé

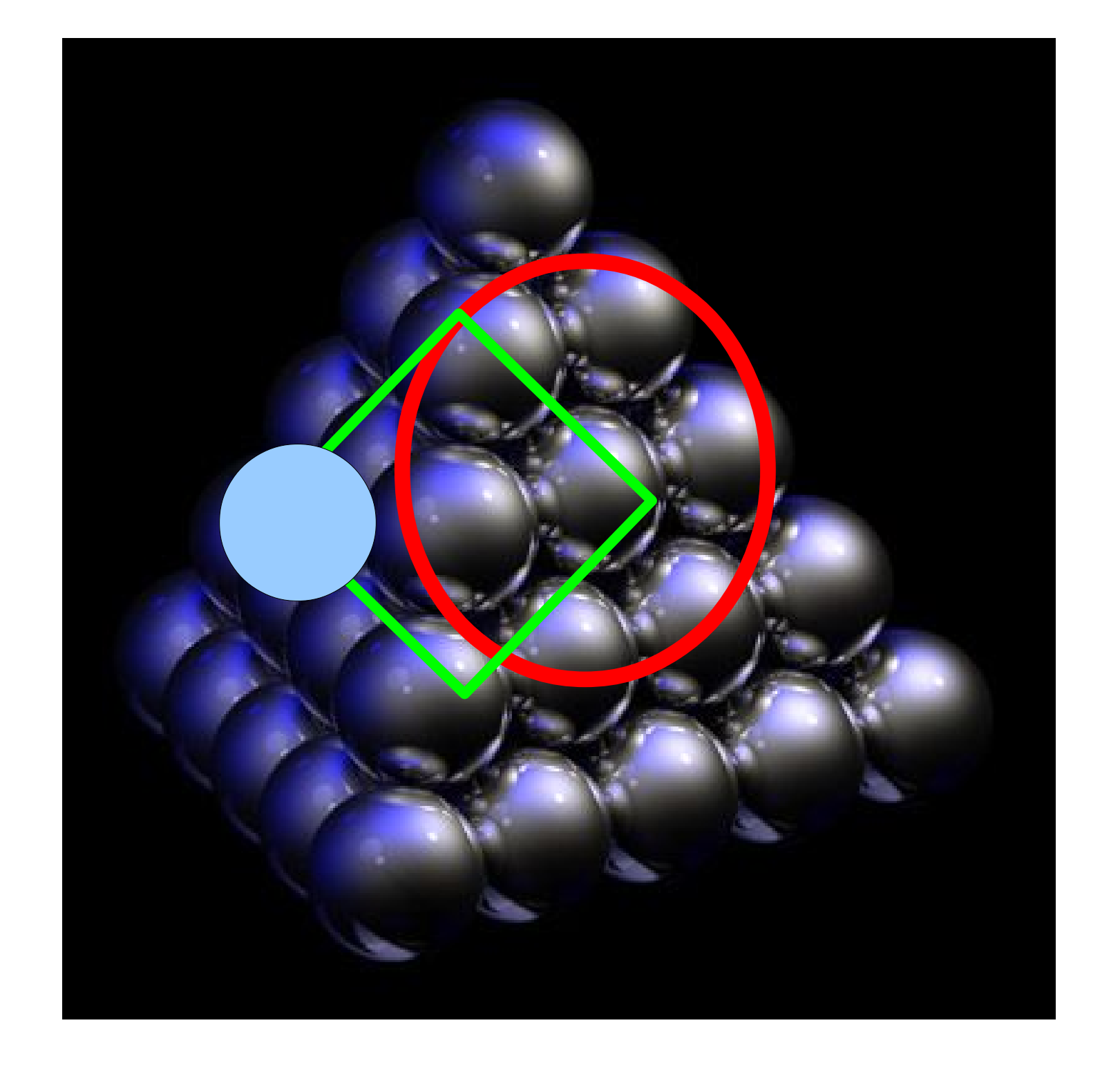


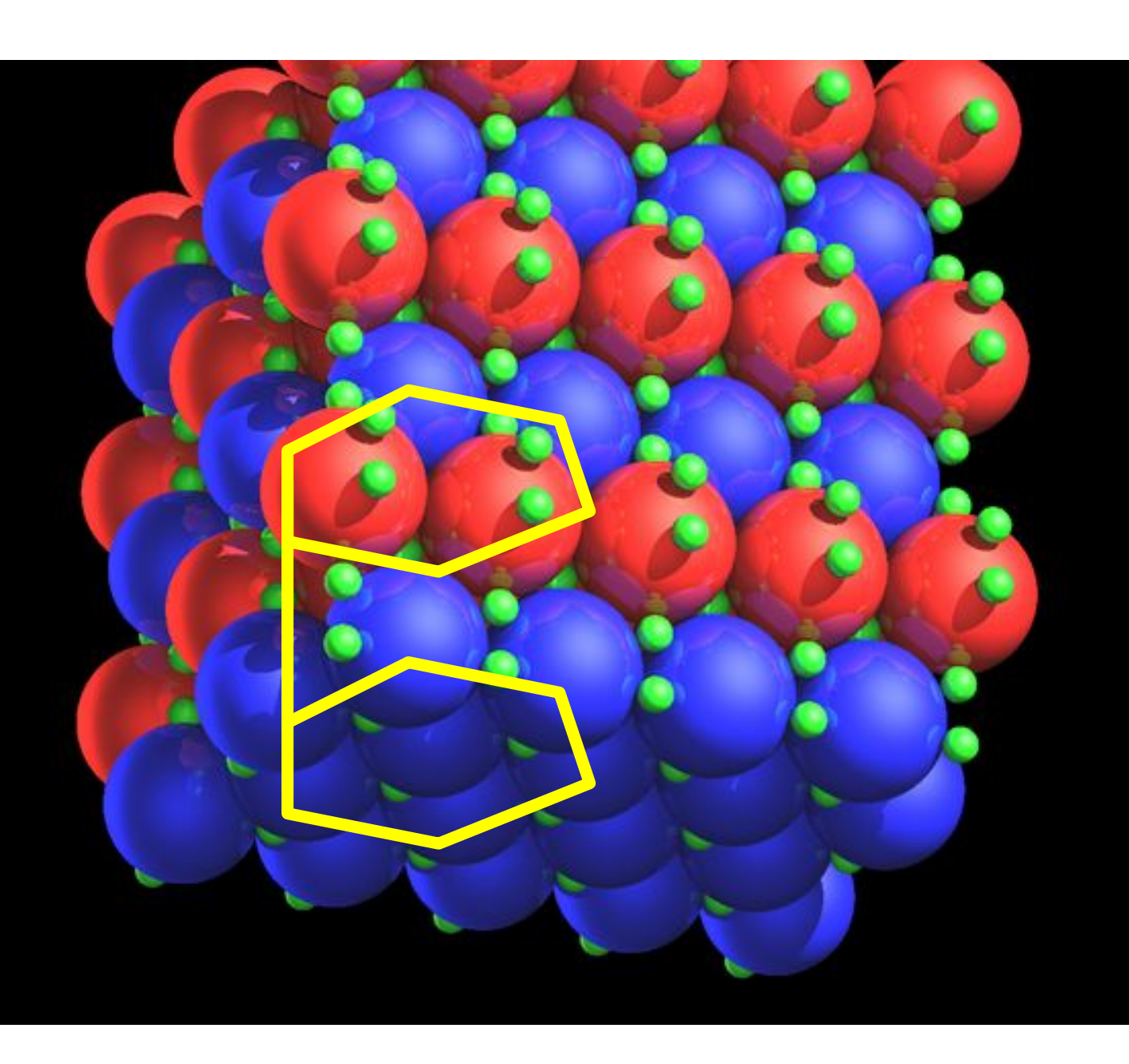
Empilement compact

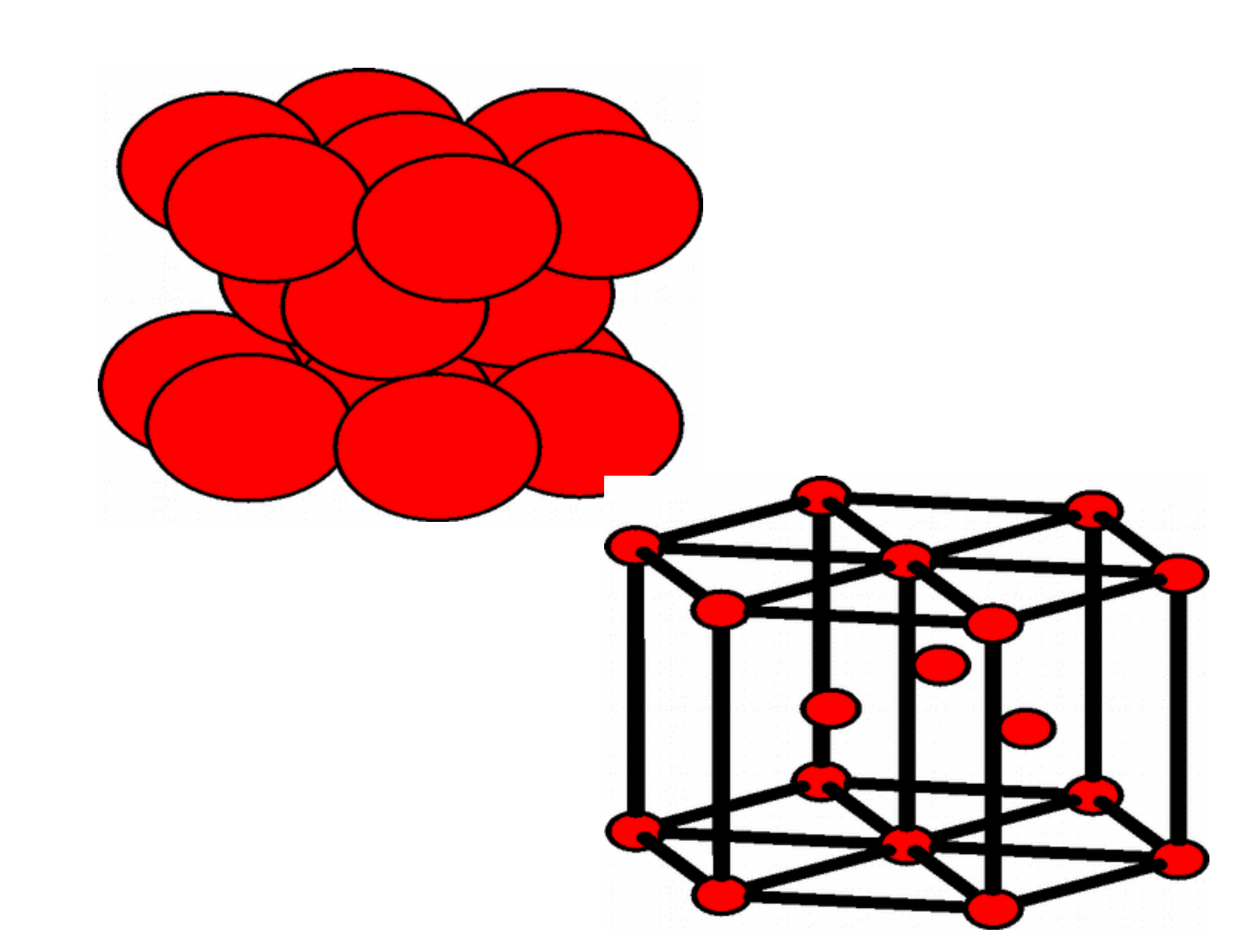


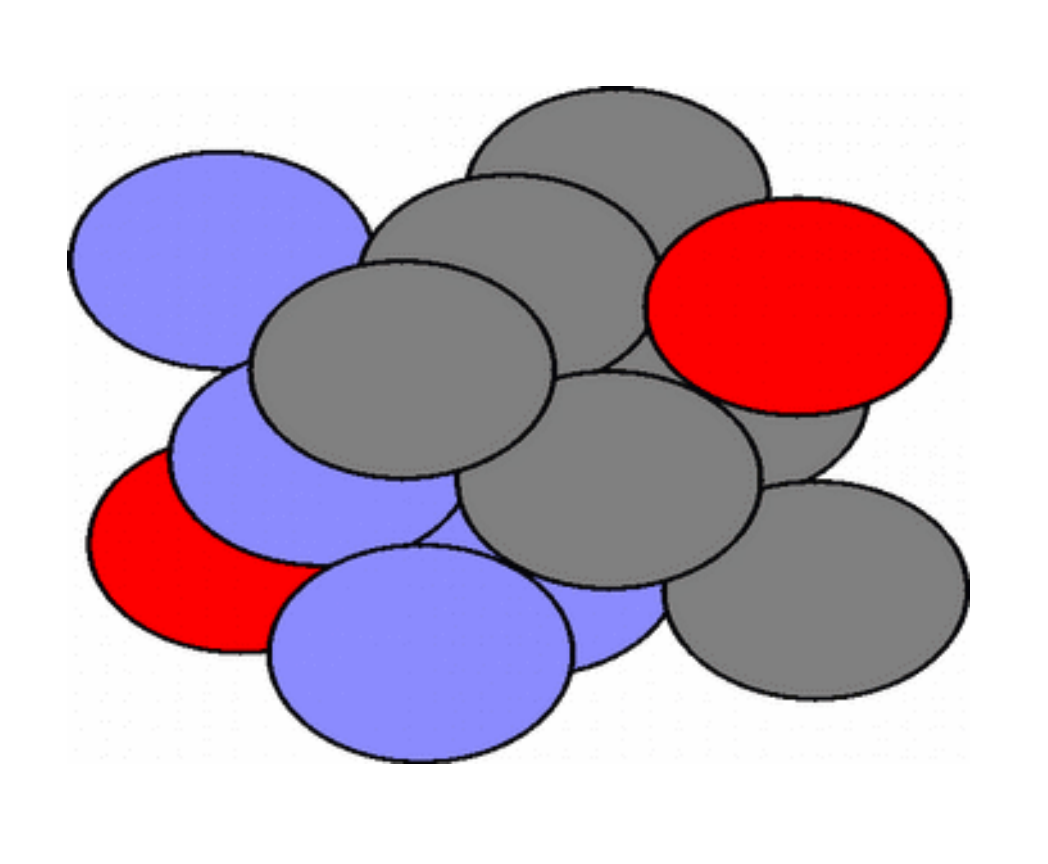
Mg: ABABABAB....

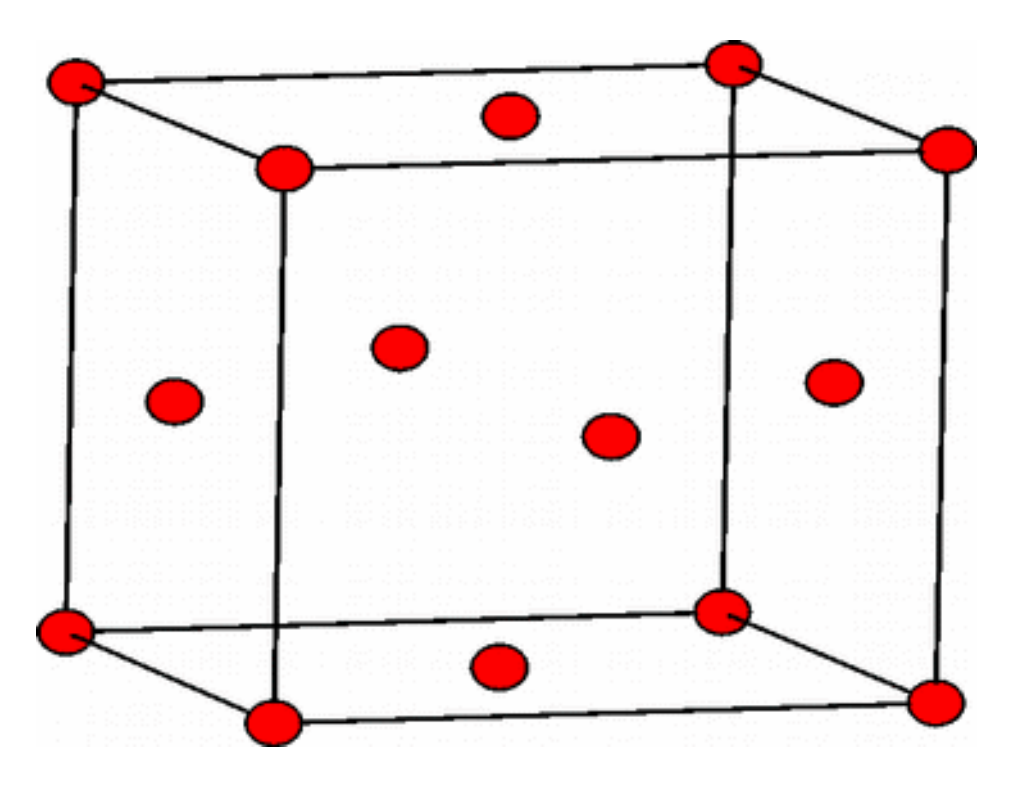
Au: ABCABCABC...



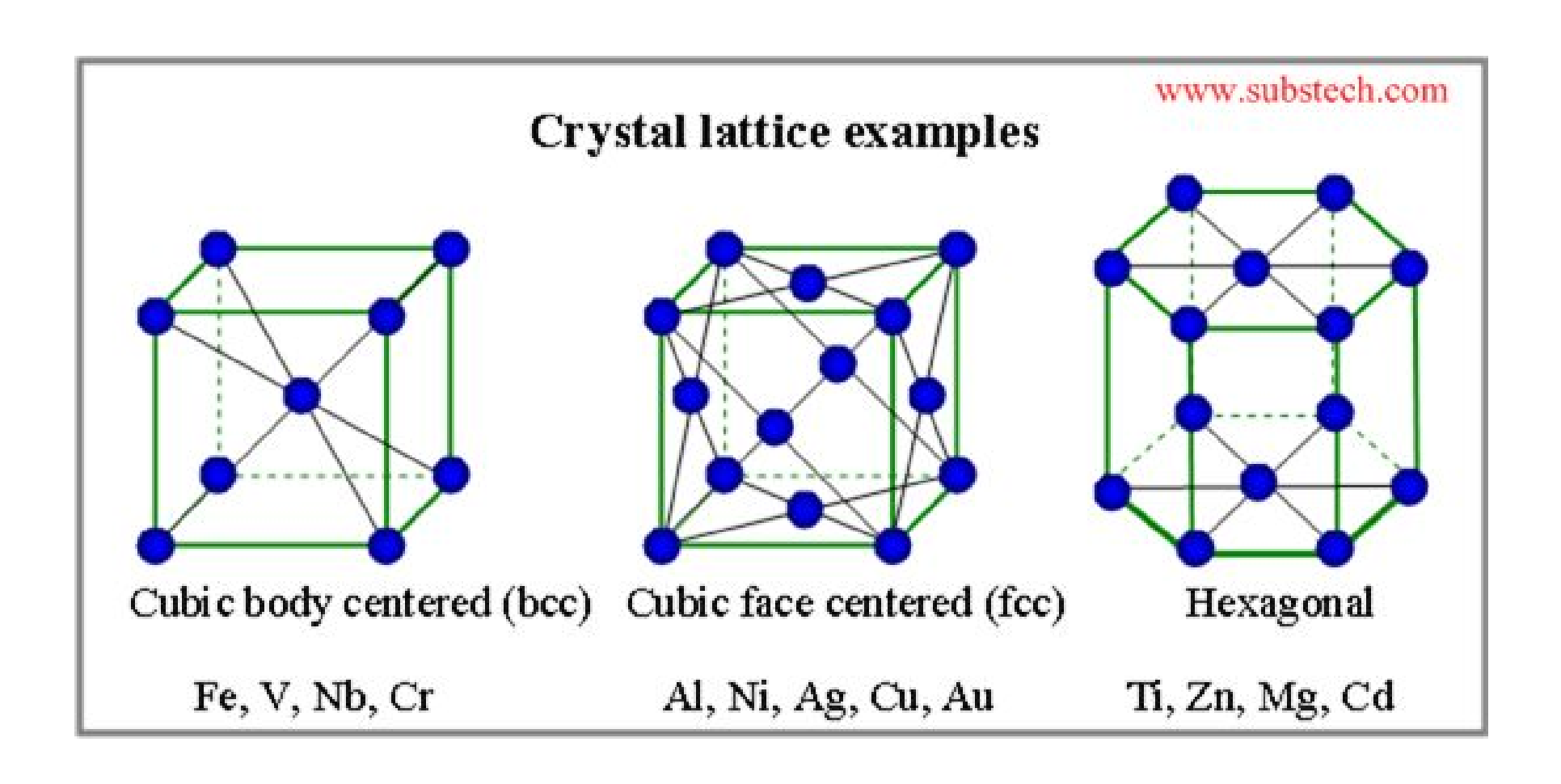








Réseaux cristallins



Cristal ionique

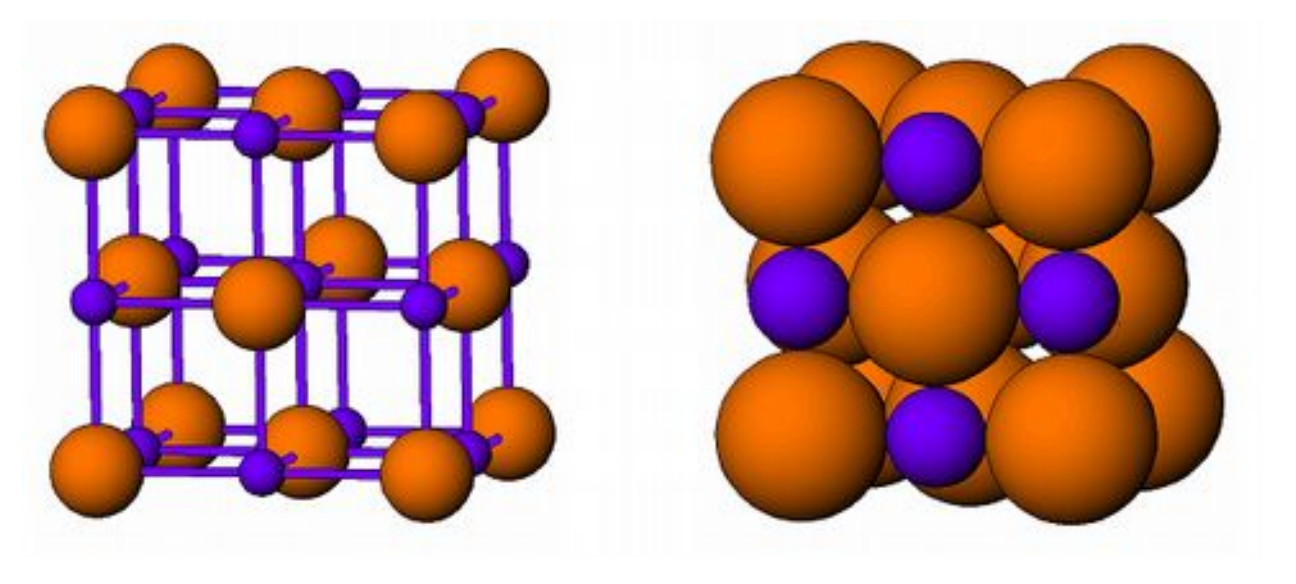
- Modèle des sphères dures.
 - Réseau de cations, d'anions.
 - Sites pour les contre-ions.
- Énergie Réticulaire
 - Cycle de Born-Haber
 - Constante de Madelung
- Défauts cristallins
 - Schottky (Absence anion ou cation)
 - Frenkel (Cation ou anion déplacé)
 - Centre F (électron piégé)

Modèles de cristaux ioniques

- Cubique face centrée, cfc (fcc)
 - Halite (NaCl): cfc (fcc), sites o
 - Blende (sphalerite ZnS); cfc (fcc), ½ site t
 - Fluorite (CaF2): cfc, sites t
- Cubique simple, CsCl: c, sites c
- Hexagonal
 - Wurzite
 - Rutile

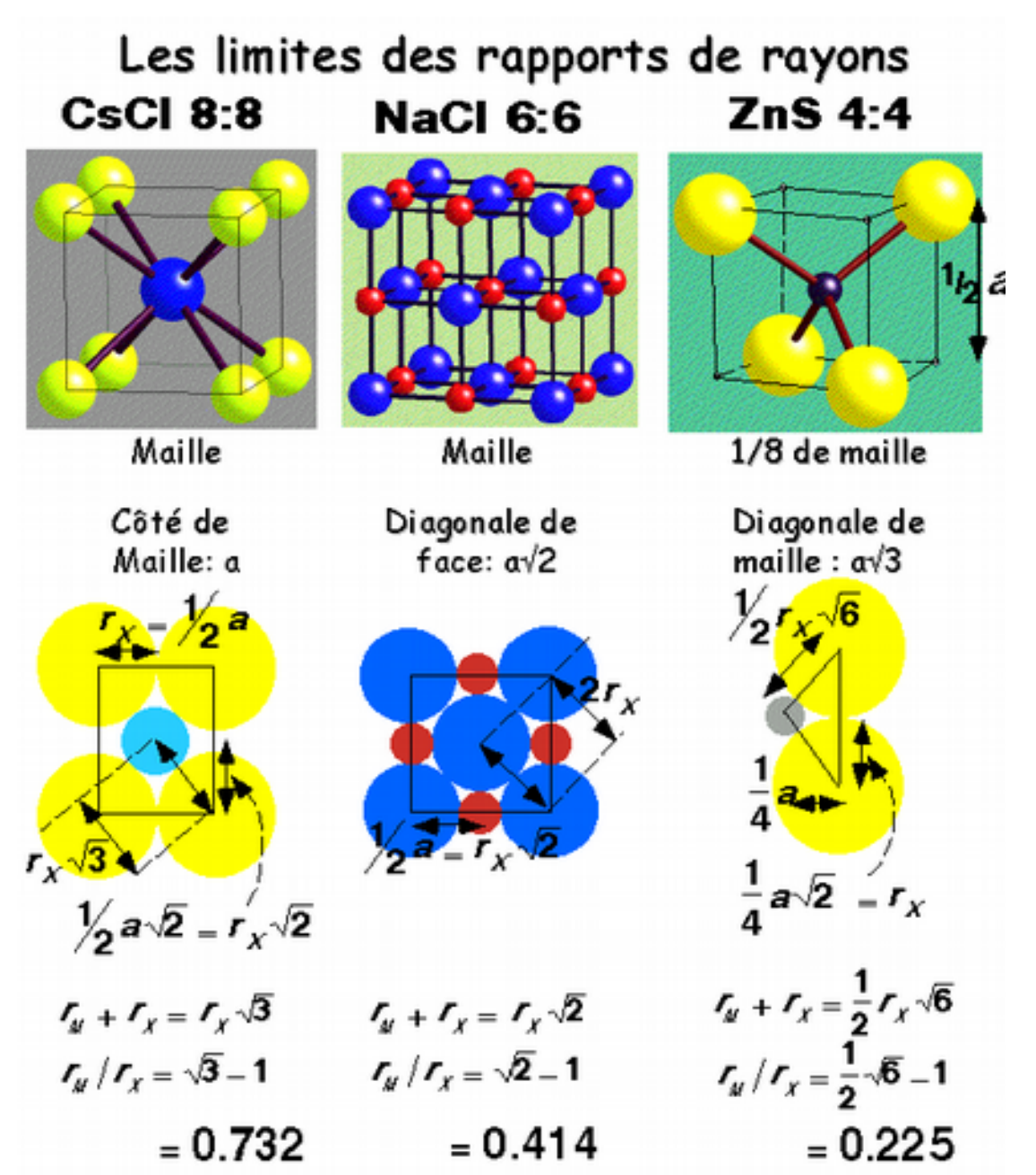


Halite: NaCl

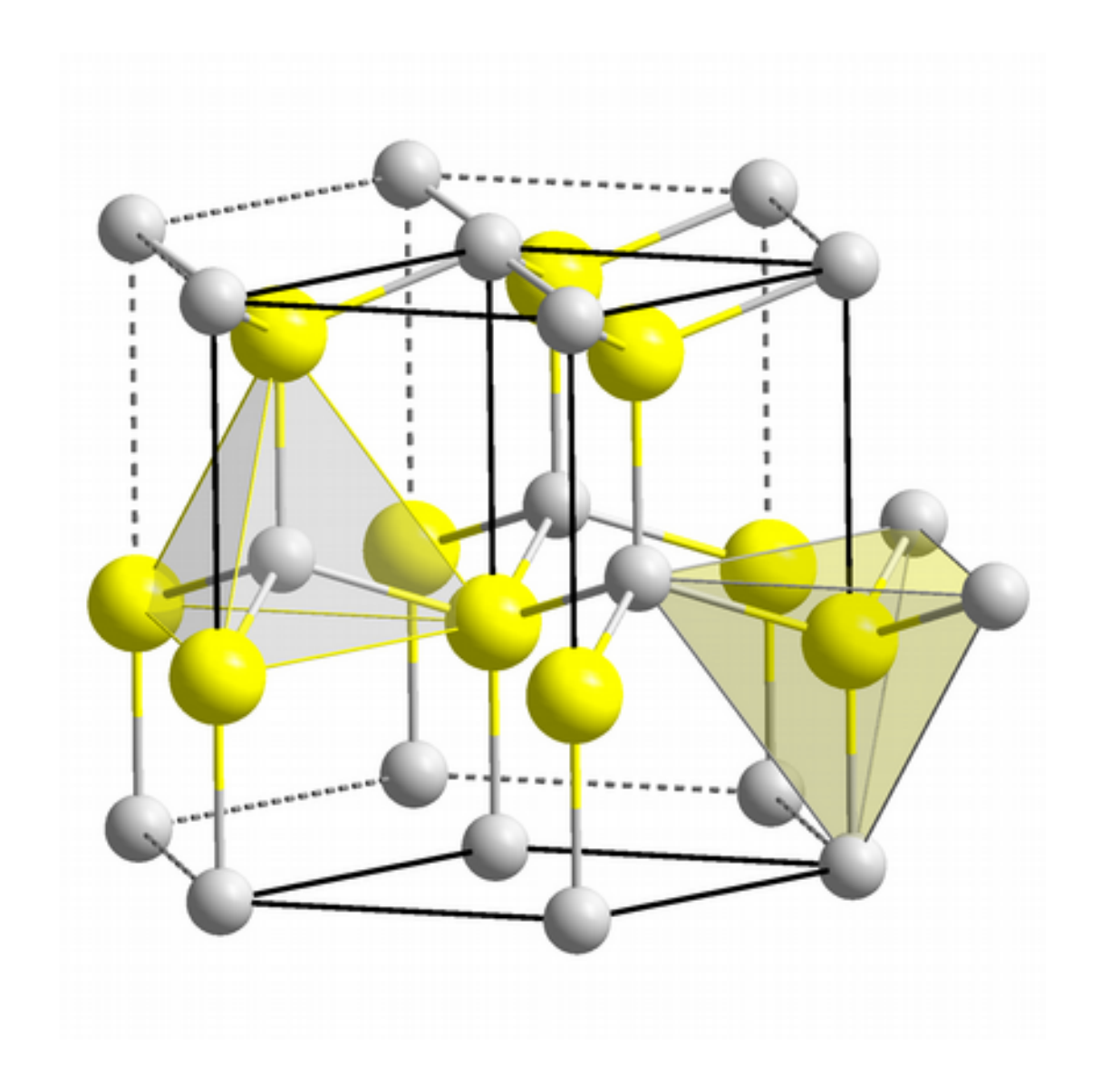


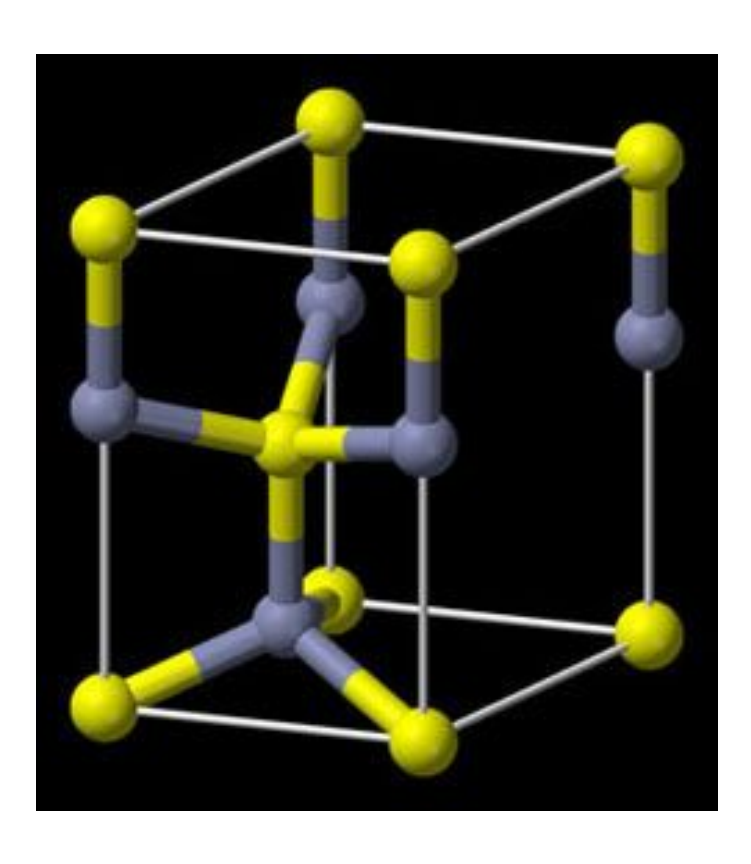
Limites des rayons

- •Les 2 rapports r+/r- et r-/r+ doivent être supérieurs à cette limite, ou inférieurs à son inverse... (respectivement 1.37, 2.44 et 4.44)
- •La tolérance augmente quand la coordinance diminue

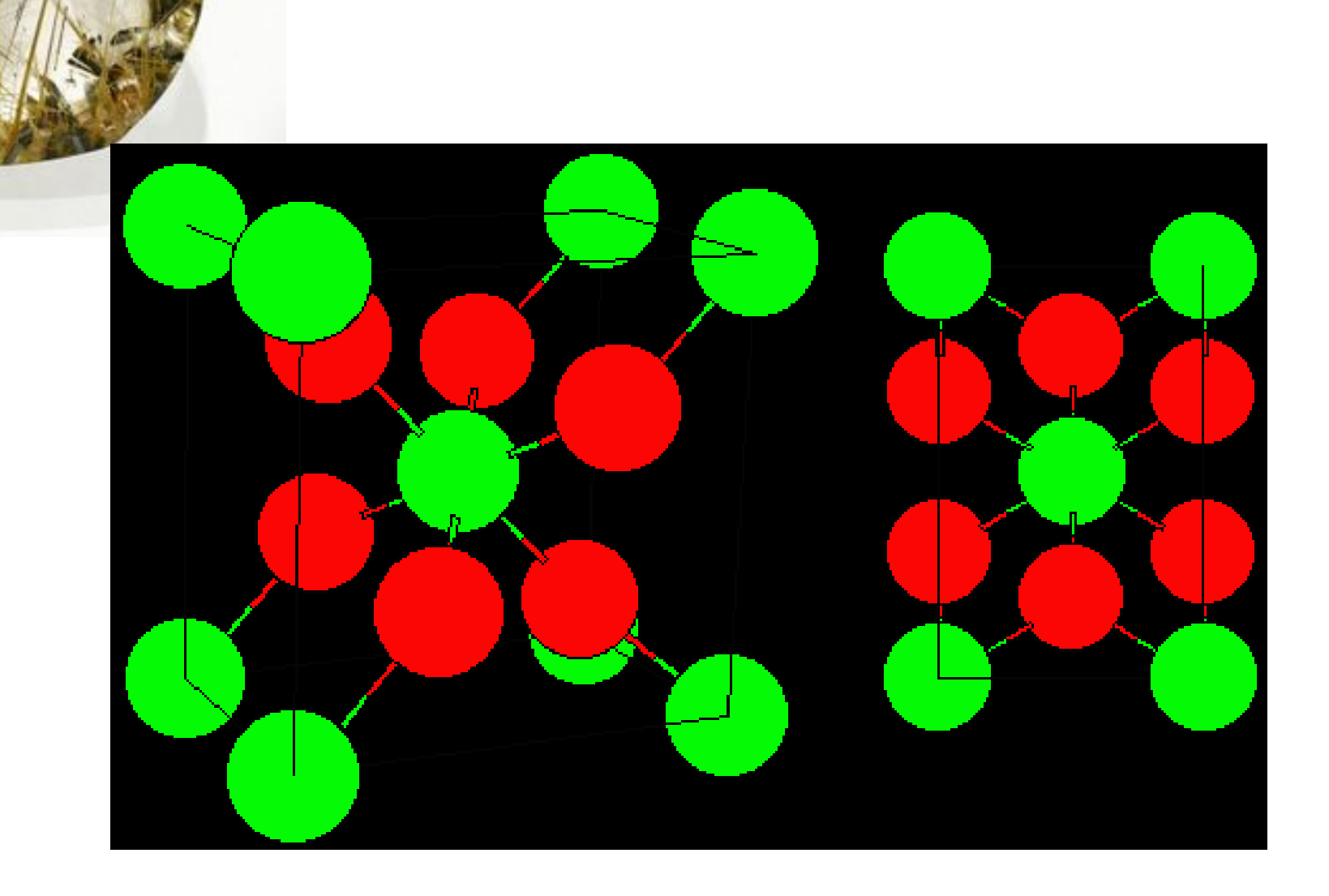


Würtzite (polymorphe de la blende)





Putile (TiO₂)

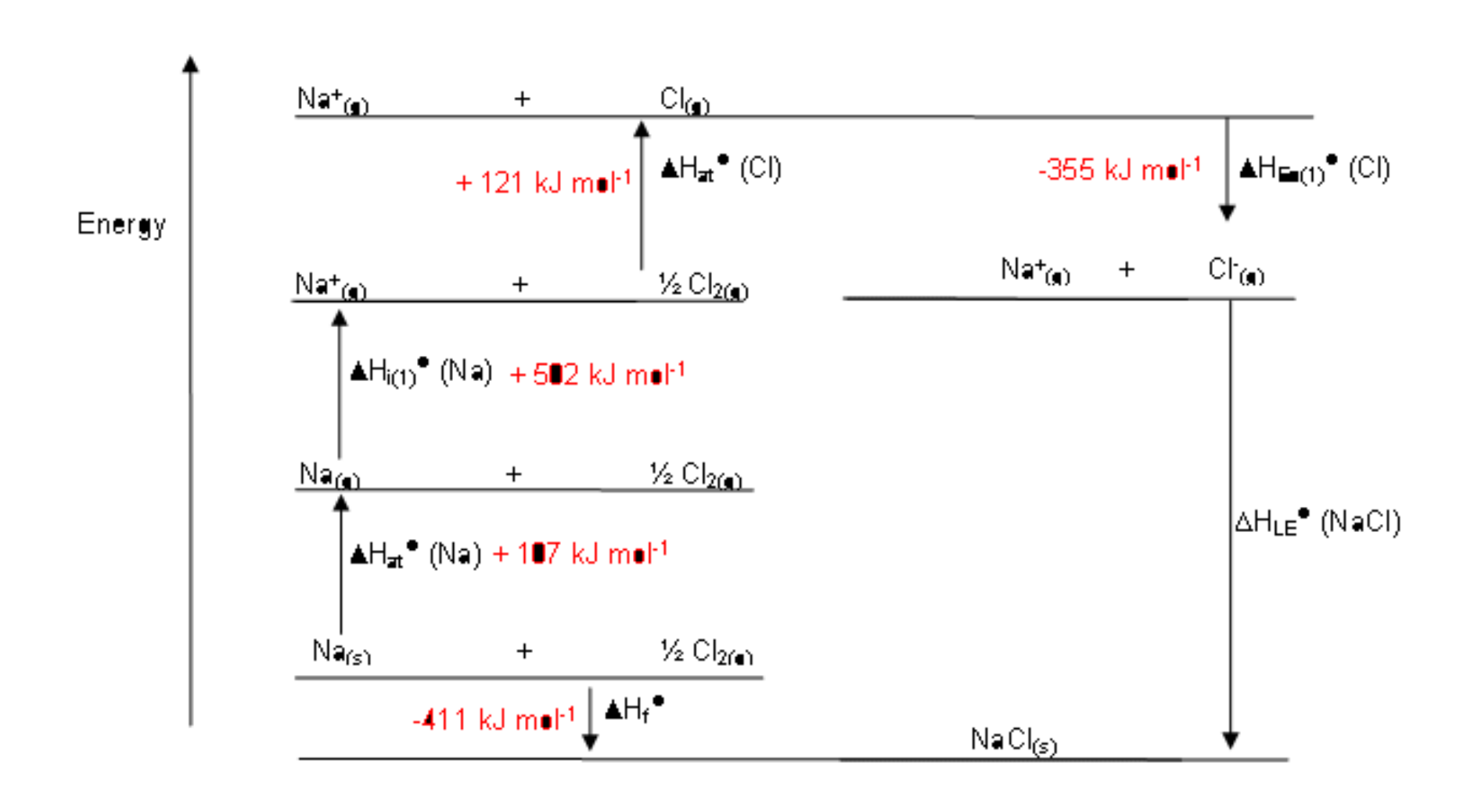


Maille quadratique

L'énergie réticulaire (Er) ou "Lattice Enthalpy" (LE)

- Énergie à fournir à une mole de cristal pour le transformer en un gaz d'ions infiniment dilué.
 - Différent de enthalpie de formation.
 - Cycle de Born-Haber
- Modèle des sphères dures: constante de Madelung

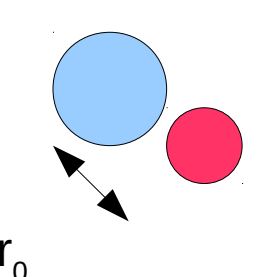
Cycle de Born-Haber



Constante de Madelung

•
$$E_r = z_a z_c e^2/4\pi\epsilon^{\circ} r_0 M Na$$

z_a charge de l'anion z_c charge du cation



Halite	1.748
CsCl	1.763
Fluorite	2.519
Blende	1.638
Würzite	1.641

Energie réticulaire

- NaCl: -780 kJ/mol mesuré, -766 calculé
- CuCl: -993 kJ/mol mesuré, -904 calculé

•

- Nal: -705 kJ/mol mesuré, -692 calculé
- Cul: -963 kJ/mol mesuré, -833 calculé

Le modèle des sphère dures sous-estime systématiquement l'énergie réticulaire car il ne tient pas compte de la covalence, négligeable pour NaCl, ~20% de l'énergie pour Cul

Une façon équivalente d'exprimer ce résultat est de considérer que la sphère dure se transforme en une forme non sphérique et molle

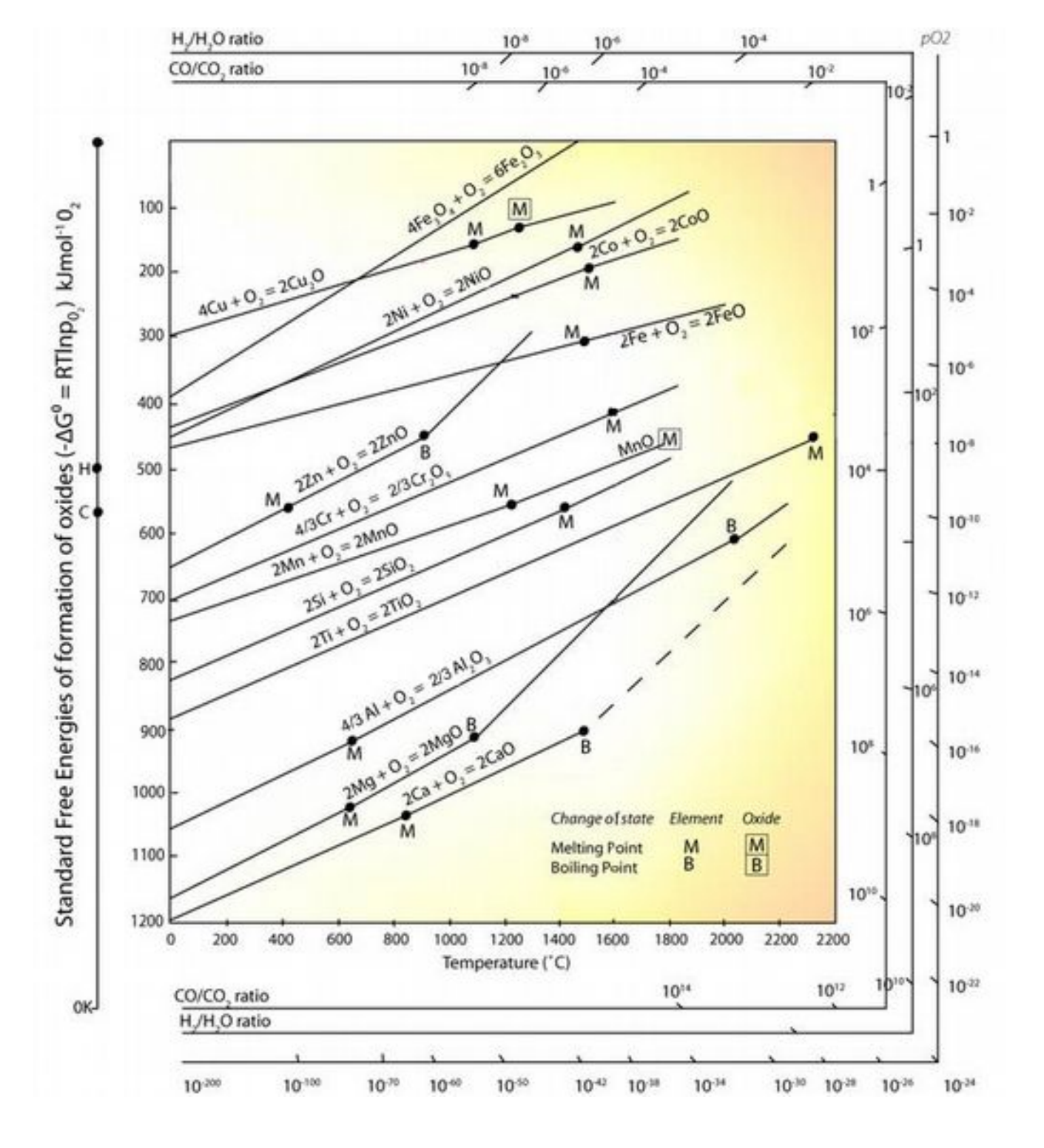
Défauts cristallins (entropie)

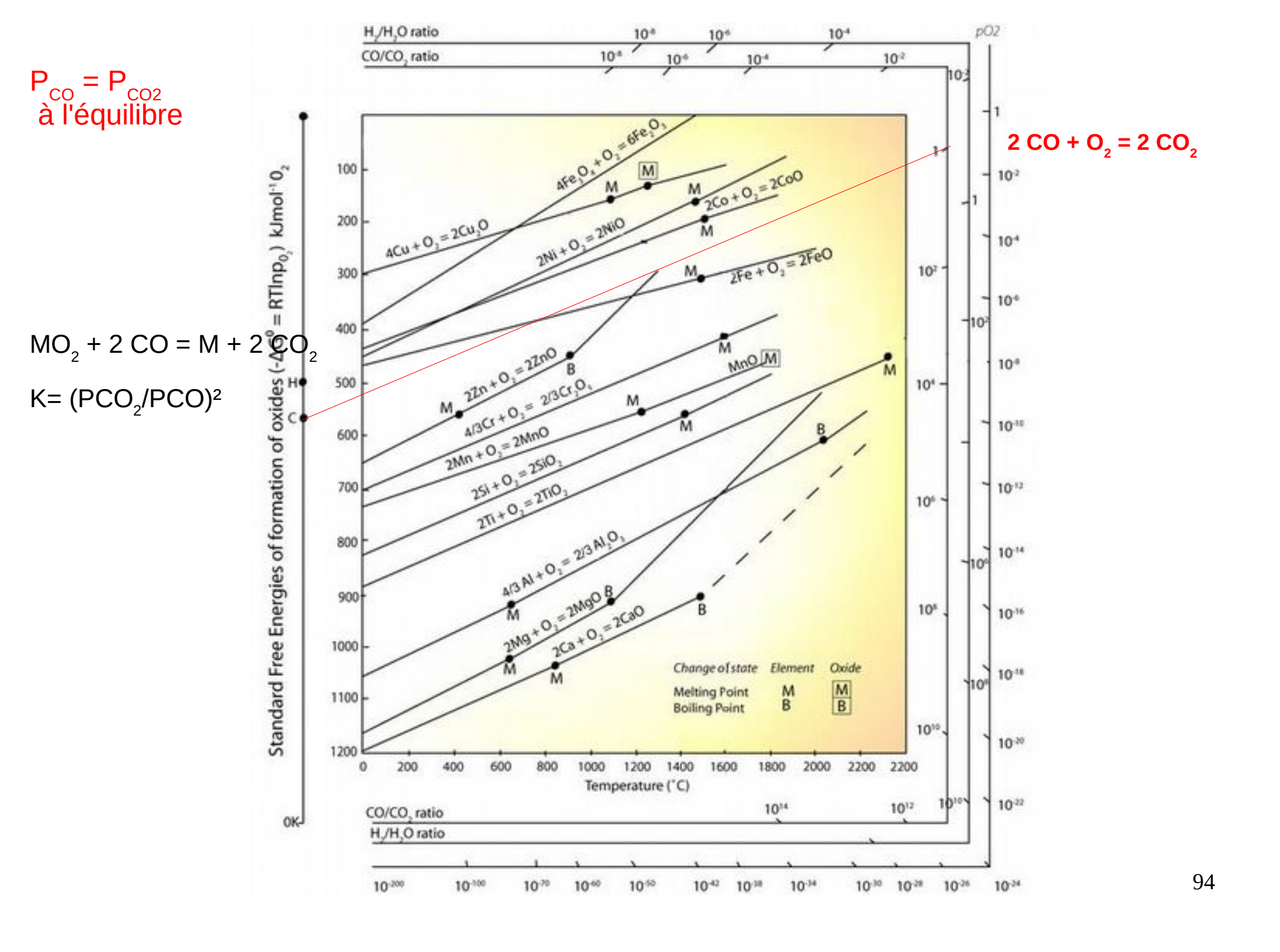
- Schottky:
 - absence d'un anion et/ou d'un cation
 - remplacement par charge multiple ou compensation
 - Anti-Schottky: ion en plus
- Centre F: électron piégé dans un site cationique
- Frenkel: cation déplacé (parfois anion) générant une paire de défauts
 - Lacune
 - Interstitiel

Chimie des oxydes

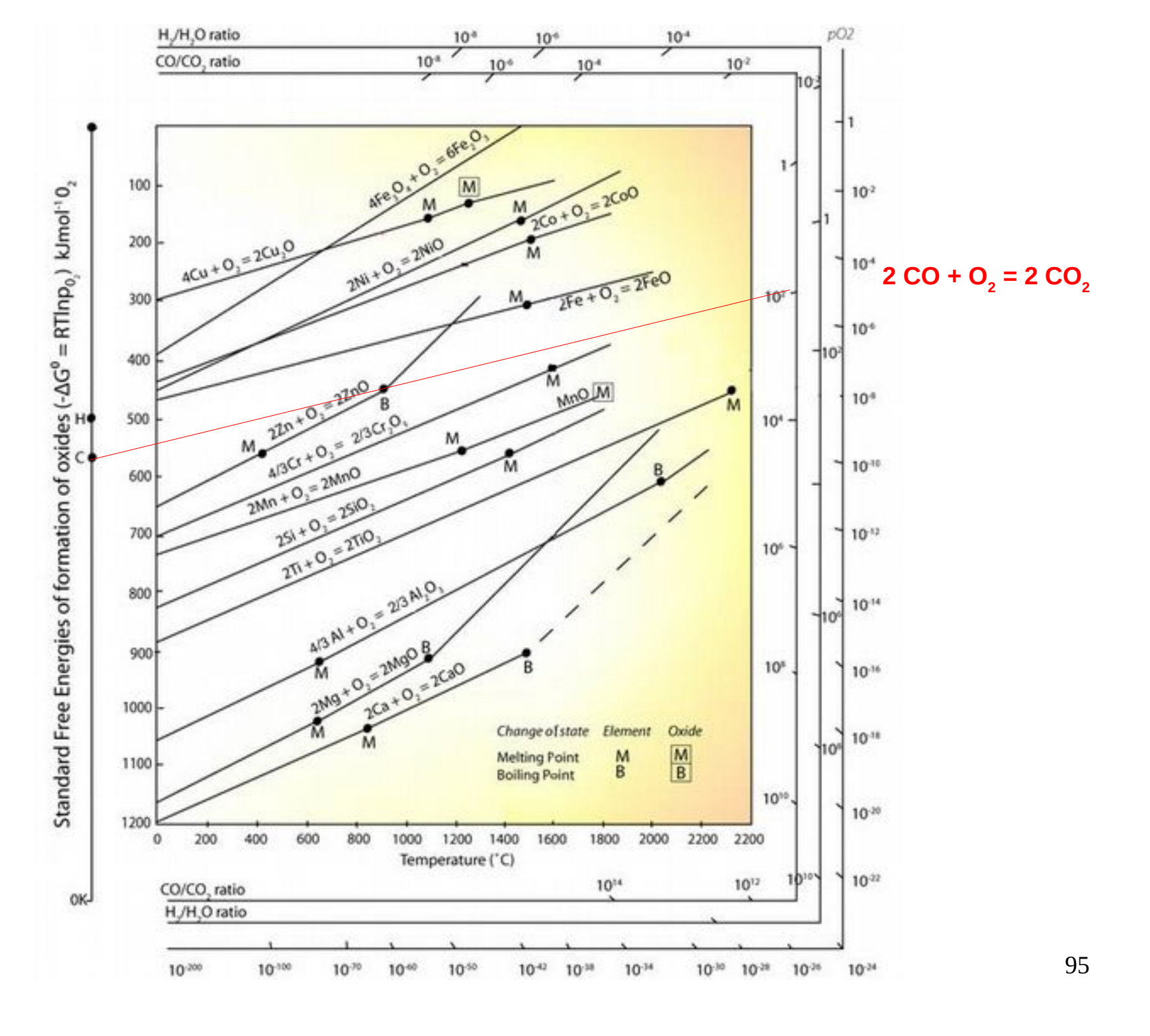
Acidité de Lux & Flood

- Echange de l'espèce O²⁻
- Acide: accepteur d'ion oxyde
- Base: donneur d'ion O²⁻
- $CaO + SiO_2 = CaSiO_3 = Ca^{2+} + SiO_3^{2-}$





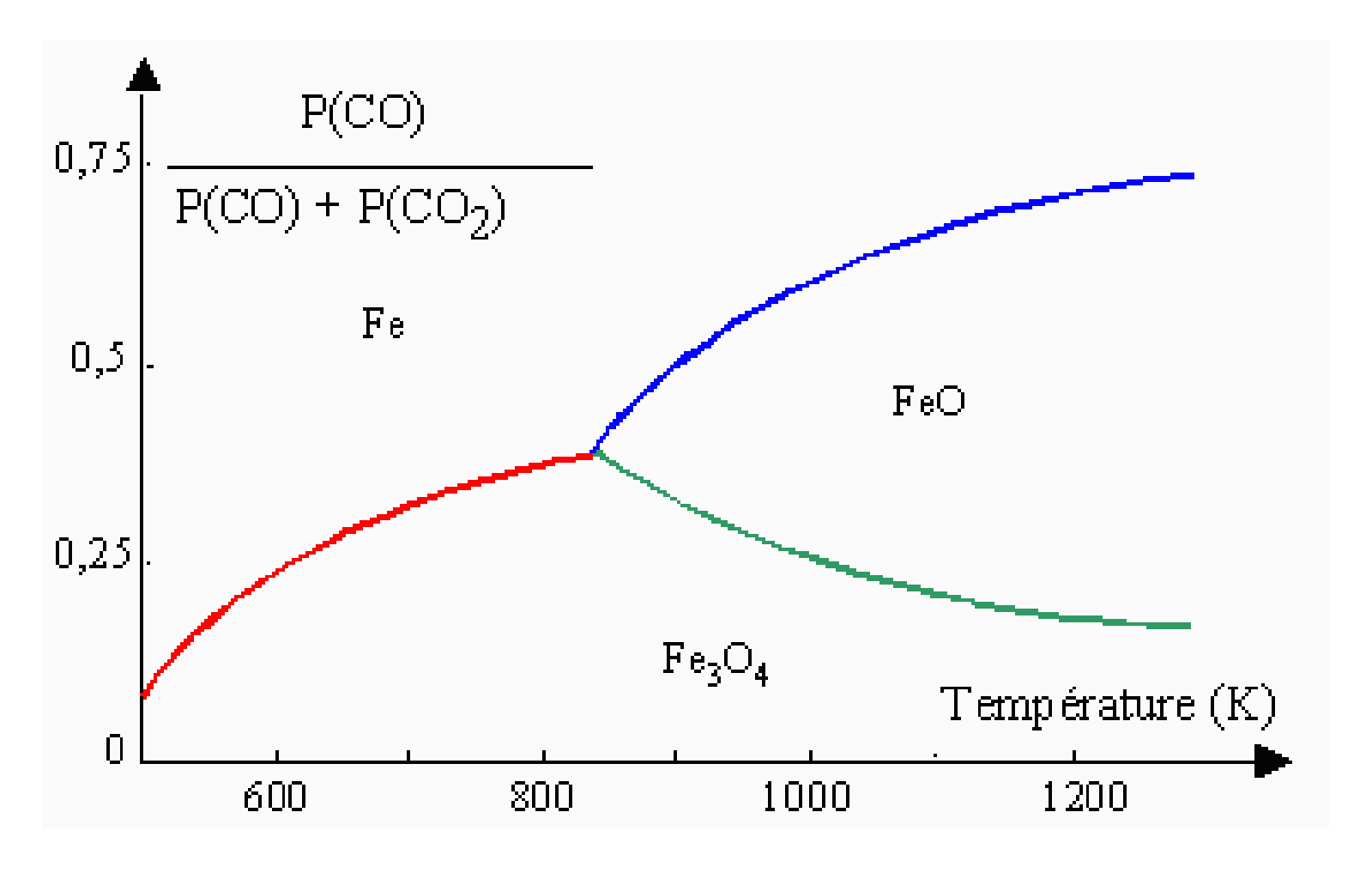
P_{co} = 100 P_{co2} à l'équilibre L'oxyde de fer est réduit



Courbes de Chaudron

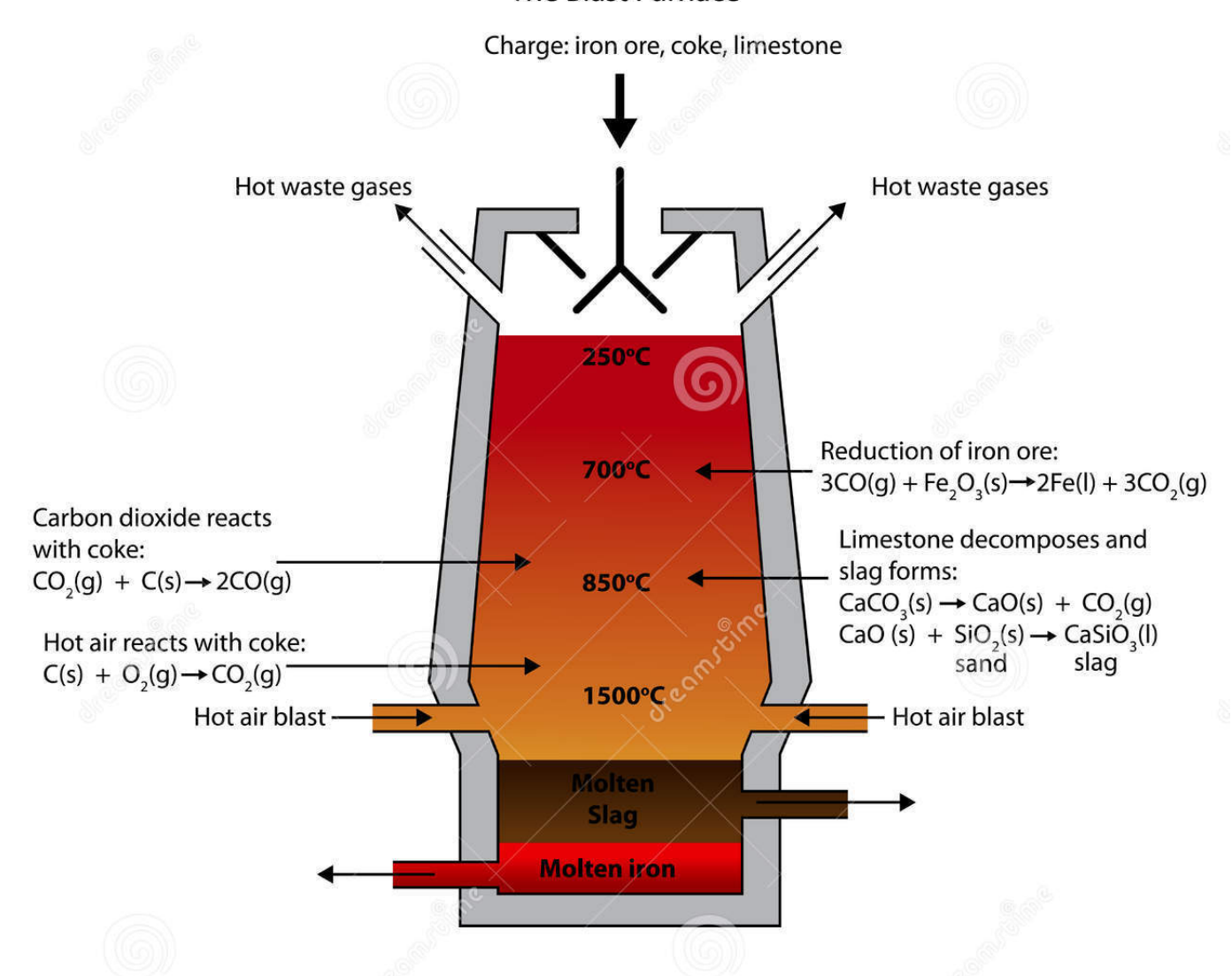


Georges Chaudron (1891-1976)



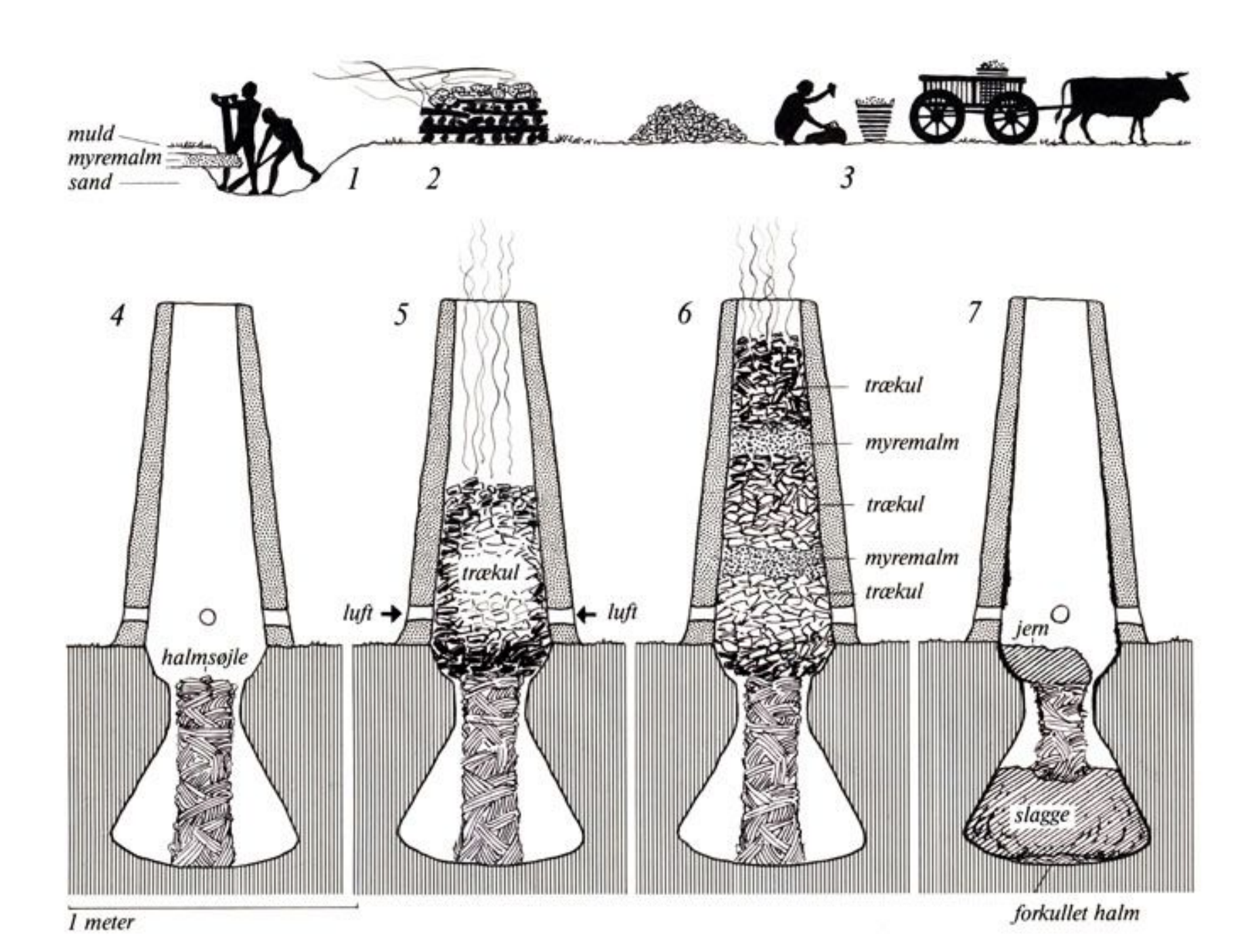
Le haut fourneau

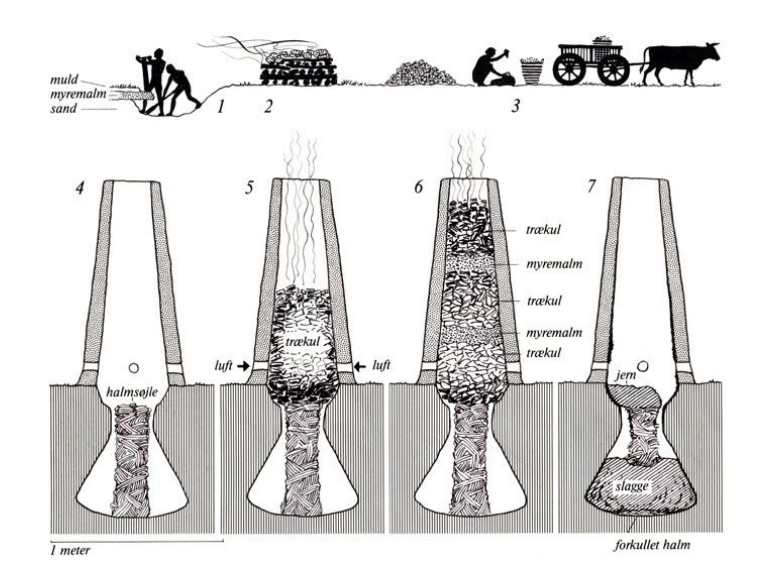
The Blast Furnace



97









Fin provisoire